



Transmisyjna mikroskopia elektronowa ujawnia tlenek grafenu w szczepionkach CoV-19

Zaktualizowano: 22 08 2021r

<https://www.drrobertyoung.com/post/transmission-electron-microscopy-reveals-graphene-oxide-in-cov-19-vaccines>

Mikroskopia kontrastu fazowego, transmisyjna mikroskopia elektronowa i spektroskopia rentgenowska z dyspersją energii ujawniają składniki szczepionek CoV-19! **Na Rysunku 1** widać jak wygląda bomba klastrowa z zredukowanego **tlenku grafenu (rGO)** w żywej, niezabarwionej ludzkiej krwi po zaszczepieniu CoV-19 i powodująca patologiczną koagulację krwi ! [1][2].

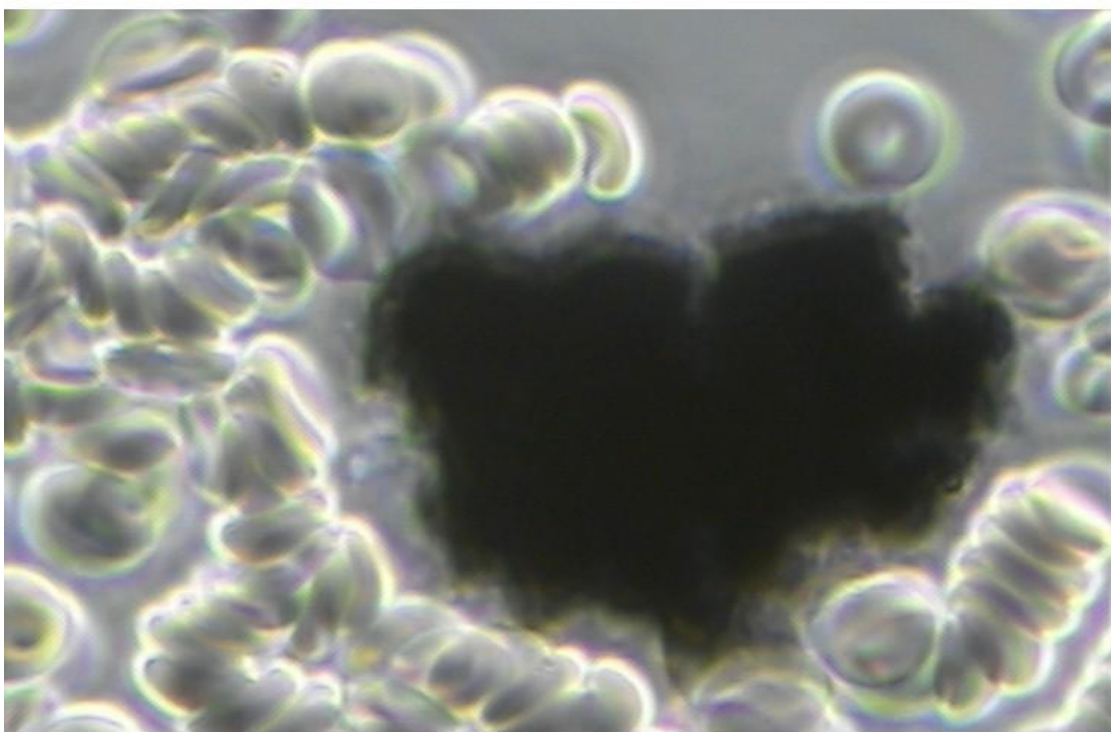


Figure 1 is a Micrograph of a Carbon Cluster of Reduced Graphene Oxide (rGO) Viewed in the Live Unstained Human Blood with pHase Contrast Microscopy at 1500x. Note that the Red Blood Cells are Clotting in and Around the rGO Crystal in a Condition Known as Rouleau! A French Word Which Means to Chain.

Rysunek 1 to mikrograf klasterów węglowych zredukowanego tlenku grafenu (rGO) oglądanych w żywej, nie zabarwionej ludzkiej krwi za pomocą mikroskopii kontrastu pHase przy 1500x. Zauważ, że czerwone krwinki krzepną w i wokół kryształu rGO w stanie znany jako Rouleau! Francuskie słowo, które oznacza łańcuch.

Jakie są nieujawnione składniki zawarte w tak zwanych szczepionkach CoV – 19?

Aby odpowiedzieć na to pytanie, z każdej fiolki pobrano wodną frakcję **szczepionek Pfizer, Moderna, Astrazeneca i Janssen**, a następnie oglądano je osobno pod mikroskopem kontrastu fazowego w powiększeniu 100x, 600x do 1500x, pokazując cząsteczki zredukowanego **tlenku grafenu (rGO)**, które porównano z mikrografami rGO z Choucair et al, 2009 w celu identyfikacji i weryfikacji [3].

Nieujawnione składniki "szczepionki" firmy Pfizer

Mikrografof na **Rysunkach 2 i 3** zostały uzyskane przy użyciu 100X, 600X i 1500X pHase Contrast, Dark Field i Bright Field Optical Microscopy.[3]

Po lewej stronie każdego z mikrografów widoczne są mikrografof uzyskane z frakcji wodnej **szczepionki Pfizer** zawierającej rGO.

Po prawej stronie każdego z mikrografów wyświetlane są dopasowania ze znanych źródeł zawierających rGO w celu walidacji anatomicznej.



Figure 2 shows an aqueous fraction image from Pfizer vaccine sample (left) and from reduced graphene oxide (rGO) standard (right) (Sigma-777684). Optical microscopy, 100X

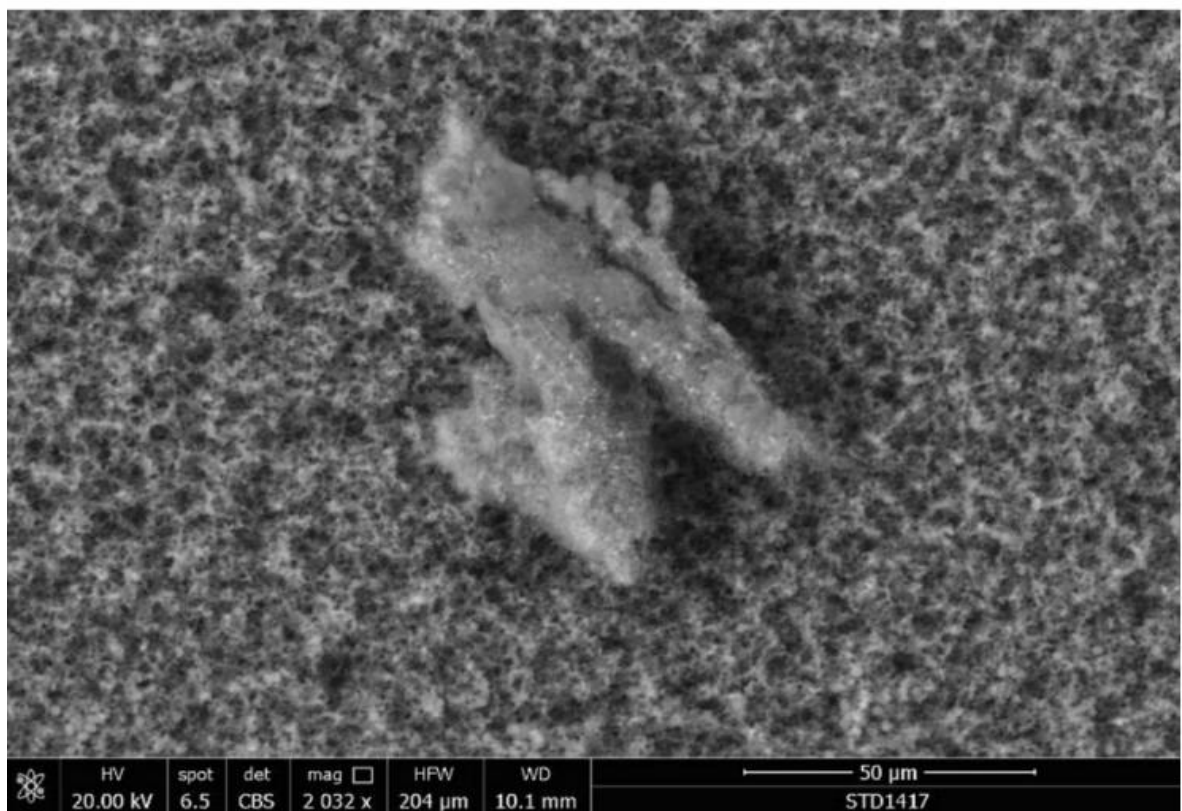
Rysunek 2 przedstawia obraz frakcji wodnej z próbki szczepionki firmy Pfizer (po lewej) i ze standardu zredukowanego tlenku grafenu (rGO) (po prawej) (Sigma-777684). Mikroskopia optyczna, 100X

Rysunek 3 -
 Obrazy frakcji
 wodnej
 zawierającej
 zredukowany
 tlenek grafenu z
 próbki
szczepionki firmy
Pfizer (po lewej)
 i sonikowany
 standardowy
 zredukowany
 tlenek grafenu
 (rGO) (po prawej)
 (Sigma-777684).
 Mikroskopia
 optyczna z
 kontrastem
 pHazowym, 600X



Figure 3 - Aqueous fraction images containing reduced graphene oxide from Pfizer vaccine sample (left) and sonicated reduced graphene oxide (rGO) standard (right) (Sigma-777684). Optical pHase contrast microscopy, 600X

Używając transmisyjnej mikroskopii elektronowej (TEM) zaobserwowaliśmy skomplikowaną matrycję lub siatkę złożonych, półprzezroczystych, elastycznych arkuszy rGO z mieszaniną ciemniejszych wielowarstwowych aglomeracji i jaśniejszych kolorów rozłożonych monowarstw, jak widać na **Rysunku 4.** [3]



Rysunek 4
 przedstawia
 skupisko

HV 20.00 kV spot 6.5 det CBS mag 2 032 x HFW 204 μm WD 10.1 mm —————— 50 μm —————— STD1417

Figure 4 shows a cluster of graphene nanoparticles in a Pfizer vaccine. They appear to be aggregated.

nanocząstek grafenu w szczepionce firmy Pfizer. Wygląda na to, że są one zagregowane.

DISCORD: <https://discord.gg/may3KQP9a8> TELEGRAM: <https://t.me/CrisisConsultingPublicGroup>

Facebook: <https://www.facebook.com/CrisisConsulting>

Strona - 3 z 58 ---- tłumaczenie Redakcja Crisis-Consulting

Ciemniejsze obszary liniowe na **Rysunku 4** wydają się być lokalnym nakładaniem się arkuszy i lokalnym ułożeniem pojedynczych arkuszy równolegle do wiązki elektronów. [4]

Po siatce pojawia się duża gęstość niezidentyfikowanych zaokrąglonych i eliptycznych wyraźnych kształtów, prawdopodobnie odpowiadających otworom wygenerowanym przez mechaniczne wymuszenie siatki rGO podczas obróbki, jak widać na **rysunku 5**. [4]

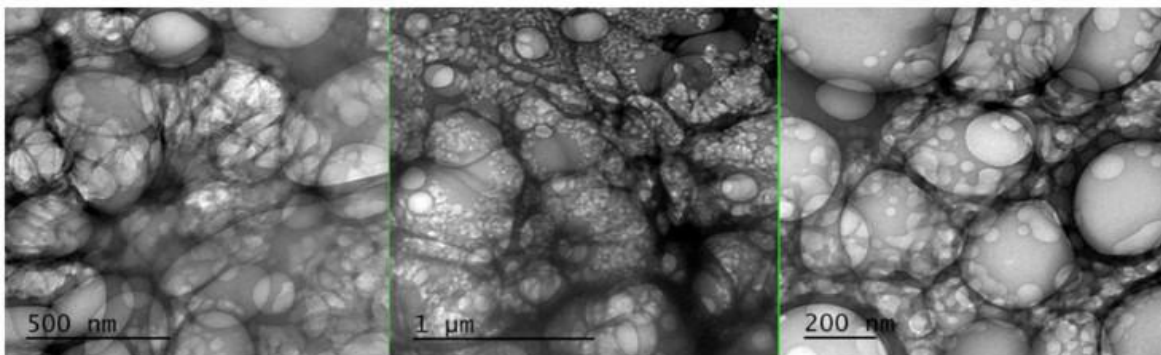


Figure 5 shows a TEM microscopy observation where particles of reduced graphene oxide in a Pfizer "vaccine" are present. The X-ray diffractometry reveals their nature of crystalline Carbon-based nanoparticles of rGO

Rysunek 5 przedstawia obserwację mikroskopii TEM, w której obecne są cząstki zredukowanego **tlenku grafenu** w szczepionce firmy **Pfizer**. Dyfraktometria rentgenowska ujawnia ich charakter krystaliczny Nanocząstki rGO na bazie węgla

Spektroskopia rentgenowska z dyspersją energii ujawnia rGO w szczepionce Pfizer [5][6][7].

Frakcja płynna szczepionki firmy **Pfizer** została następnie przeanalizowana pod kątem zawartości chemicznej i pierwiastkowej przy użyciu spektroskopii rentgenowskiej z dyspersją energii (EDS), jak widać na **Rysunku 5**. Widmo EDS wykazało obecność węgla, tlenu potwierdzającego obecność rGO oraz chlorku sodu, ponieważ próbki przedstawione na **rysunkach 2, 3, 4 i 5** zostały rozcieńczone w roztworze soli fizjologicznej.

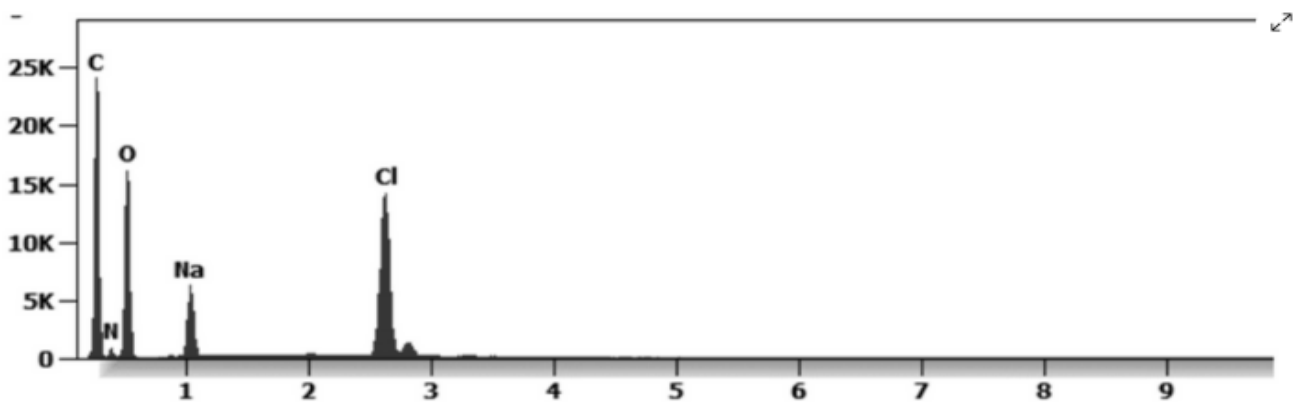


Figure 6 shows an EDS spectrum of a Pfizer "vaccine" under an ESEM microscopy coupled with an EDS x-ray microprobe (X axis = KeV, Y axis = Counts) identifying Carbon, Oxygen, Sodium and Chloride

Rysunek 6 przedstawia widmo EDS "szczepionki" firmy **Pfizer** pod mikroskopem ESEM sprzężonym z mikrosondą rentgenowską EDS (os X = keV, os Y = liczba zliczeń) identyfikującą **węgiel, tlen, sód i chlorek**

DİSCORD: <https://discord.gg/may3KQP9a8> TELEGRAM: <https://t.me/CrisisConsultingPublicGroup>

Facebook: <https://www.facebook.com/CrisisConsulting>

Strona - 4 z 58 ---- tłumaczenie Redakcja [Crisis-Consulting](#)

Kwantyfikacja mRNA w szczepionce firmy Pfizer

Kwantyfikacja **RNA** w próbce **Pfizer** została przeprowadzona przy użyciu konwencjonalnych protokołów (Fisher).

Zgodnie ze specyfcznym oprogramowaniem do sprawdzania kalibracji spektrofotometru NanoDropTM 2000 (Thermofisher), widmo absorpcji UV całkowitej frakcji wodnej było skorelowane z 747 ng/ul nieznanych substancji absorbujących.

Jednakże, po ekstrakcji **RNA** przy użyciu komercyjnego zestawu (Thermofisher), kwantyfikacja przy użyciu specyficznej dla **RNA** sondy fluorescencyjnej Qbit (Thermofisher) wykazała, że tylko 6t ug/ul może być związane z obecnością **RNA**. Widmo było zgodne z pikiem rGO przy dлиności fali 270nm.

Zgodnie z przedstawionymi obrazami mikroskopowymi, większość tej absorbancji może być spowodowana przez arkusze grafenopodobne, obficie występujące w zawiesinie płynów w próbce.

Wnioski te potwierdza również wysoka fluorescencja próbki z maksimum przy dлиności fali 340 nm, zgodna z wartościami szczytowymi dla rGO. Należy przypomnieć, że **RNA** nie wykazuje spontanicznej fluorescencji pod wpływem promieniowania UV.

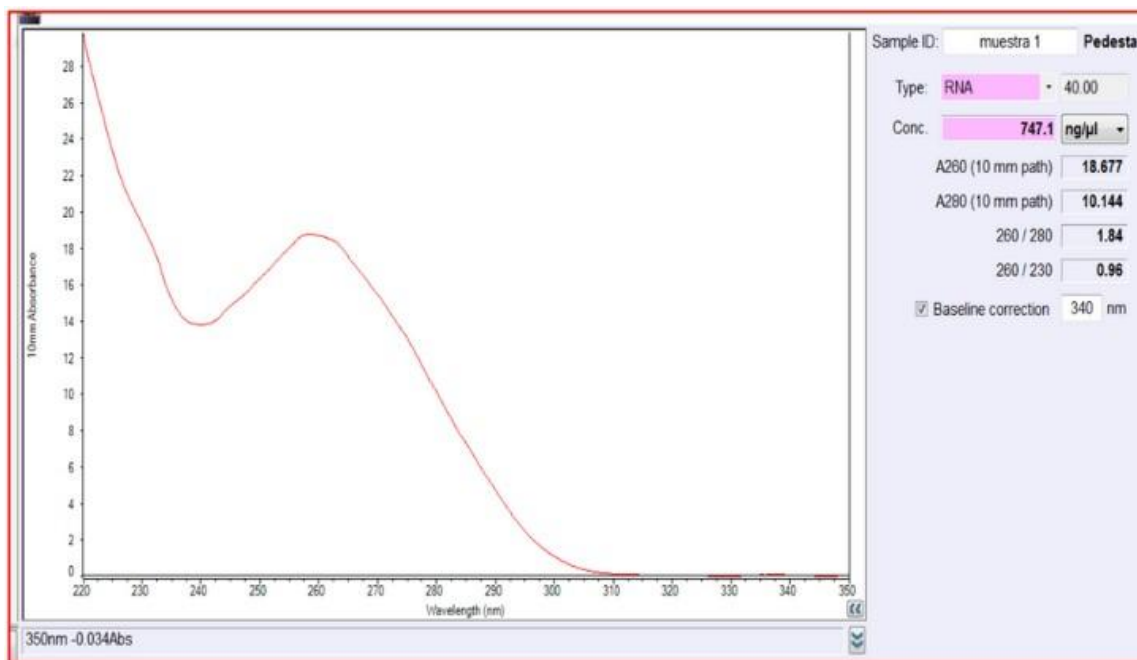


Figure 7 - UV spectrum of aqueous fraction of Pfizer vaccine sample.[1][2][3][4][5]

Rysunek 7 - Widmo UV frakcji wodnej próbki szczepionki **Pfizer**. [1][2][3][4][5]

Badanie fluorescencji ultrafioletowej frakcji wodnej Pfizer w poszukiwaniu zredukowanego tlenku grafenu (rGO) [5].

Widma absorpcji i fluorescencji Ultra Violet uzyskano przy użyciu spektrofotometru Cyvation 5 Cell Imaging Multi-Mode Reader (BioteK). Widmo absorpcji UV potwierdziło maksimum piku przy 270nm, co jest zgodne z obecnością cząstek rGO.

Maksimum fluorescencji UV przy długości fali 340 nm również sugeruje obecność znacznych ilości rGO w próbce (Bano i in., 2019).

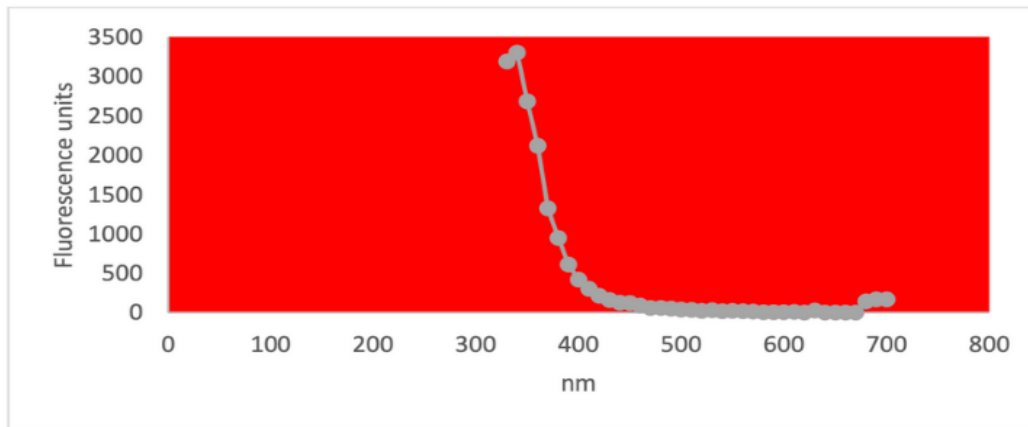


Figure 8 - UV absorption and fluorescence spectra were obtained with Cyvation 5 Cell Imaging Multi-Mode Reader Spectrophotometer (BioteK). UV absorbance spectrum confirmed a maximum peak at 270 nm, compatible with presence of rGO. UV fluorescence maximum at 340 nm also suggests presence of significant amounts of rGO in the sample (Bano et al, 2019).

Rysunek 8 - Widma absorpcji UV i fluorescencji uzyskano przy użyciu spektrofotometru Cyvation 5 Cell Imaging Multi-Mode Reader (BioteK). Spektrum absorpcji UV potwierdziło maksimum piku przy 270 nm, co jest zgodne z obecnością rGO.

Maksimum fluorescencji UV przy długości fali 340 nm również sugeruje obecność znacznych ilości rGO w próbce (Bano i in., 2019).

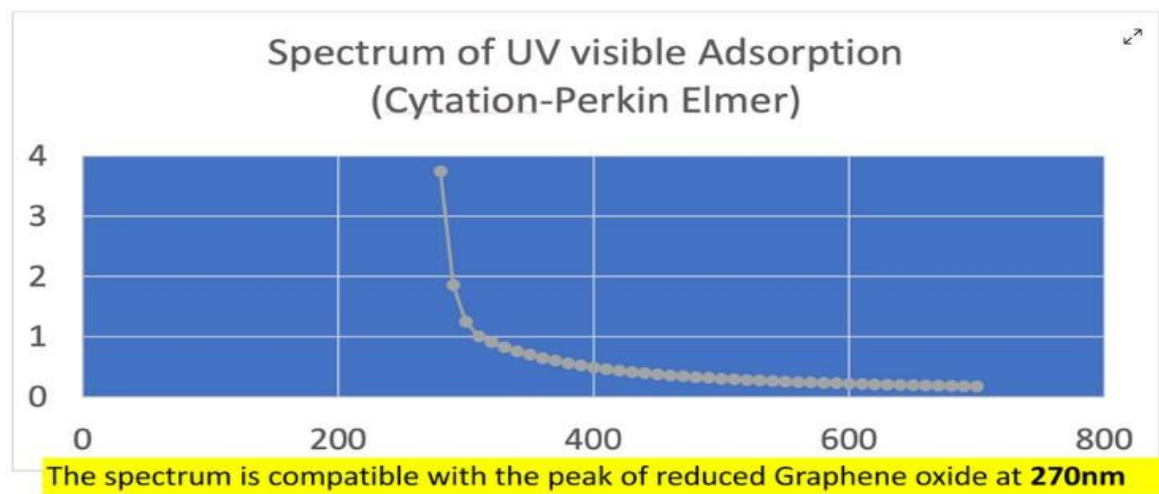


Figure 9 - The spectroscopy UV analysis showed an adsorption due to the presence of reduced graphene oxide, which is confirmed by observation under ultraviolet visible microscopy.

Rysunek 9 - Analiza spektroskopii UV wykazała adsorpcję spowodowaną obecnością zredukowanego **tlenku grafenu**, co potwierdzają obserwacje w mikroskopie widzialnym w zakresie ultrafioletu.

DISCORD: <https://discord.gg/may3KQP9a8> TELEGRAM: <https://t.me/CrisisConsultingPublicGroup>

Facebook: <https://www.facebook.com/CrisisConsulting>

Strona - 6 z 58 ---- tłumaczenie Redakcja [Crisis-Consulting](https://crisis-consulting.pl)

Rysunki 10 i 11 poniżej przedstawiają mikrograf różnych mikro i nano cząstek, które zostały zidentyfikowane w **Pfizer, Moderna, Astrazeneca i Janssen, tzw. "szczepionki"** i analizowane w środowiskowym skaningowym mikroskopie elektronowym w połączeniu z sondą rentgenowską systemu dyspersji energii, który ujawnia charakter chemiczny obserwowanych mikro i nano cząstek oglądanych.[5][6][7].

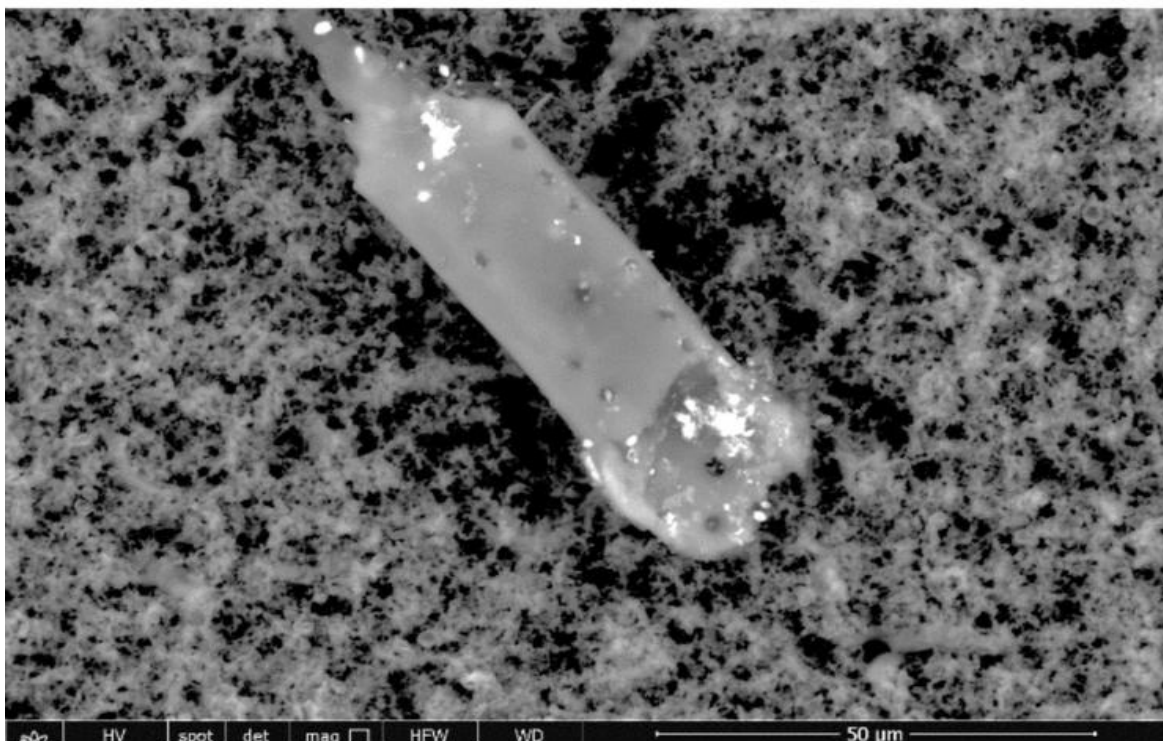


Figure 10 shows sharp micron debris of 20 um in length identified in the Pfizer so-called "vaccine" containing Carbon, Oxygen Chromium, Sulphur, Aluminum, Chloride, Nitrogen.

Rysunek 10 pokazuje ostre mikronowe odłamki o długości 20 um zidentyfikowane w tak zwanej **"szczepionce"** firmy **Pfizer**, zawierające **węgiel, tlen, chrom, siarkę, glin, chlorek i azot**.

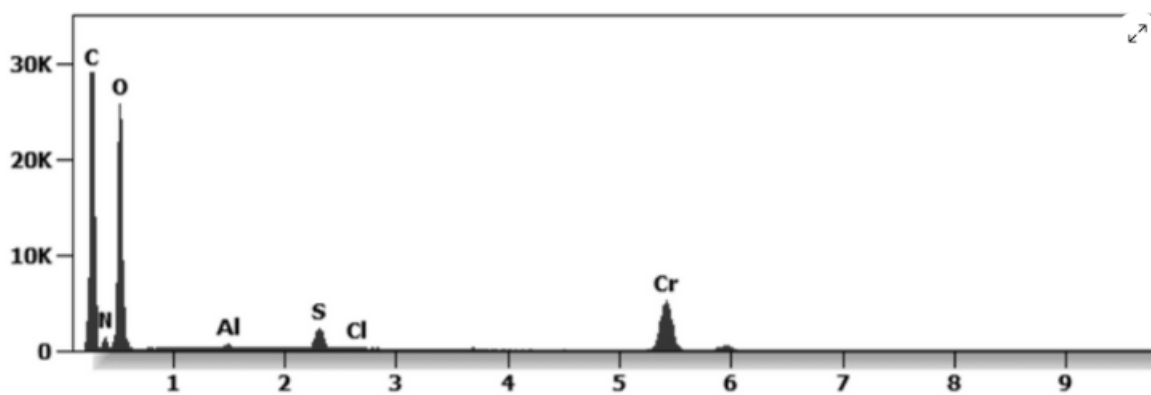


Figure 11 shows a 20 micron in length particulate identified in the so-called Pfizer "vaccine". It is composed of carbon, oxygen chromium, sulphur, aluminum, chloride and nitrogen.

Rysunek 11 przedstawia cząsteczkę o długości 20 mikronów zidentyfikowaną w tak zwanej **"szczepionce"** firmy **Pfizer**. Składa się on z **węgla, tlenu, chromu, siarki, aluminium, chlorku i azotu**.

Rysunki 12 i 13 poniżej przedstawiają mikrograf różnych mikro- i nanocząsteczek, które zostały zidentyfikowane w tak zwanych "szczepionkach" firm **Pfizer, Moderna, Astrazeneca i Janssen** i przeanalizowane w środowiskowym skaningowym mikroskopie elektronowym w połączeniu z sondą rentgenowską systemu dyspersji energii, która ujawnia chemiczną naturę obserwowanych mikro- i nanocząsteczek.

Czy w "szczepionkach" Pfizera są pasożyty?

50 mikronowe wydłużone ciało, jak widać na **Rysunku 12**, jest ostrą tajemniczą obecnością w **szczepionce Pfizer**. Pojawia się ono i jest zidentyfikowane anatomicznie jako pasożyt Trypanosoma cruzi, którego kilka wariantów jest śmiertelnych i jest jedną z wielu przyczyn zespołu nabytego niedoboru odporności lub AIDS.[Atlas Parazytologii Człowieka, 4th Edition, Lawrence Ash i Thomas Orithel, strony 174 do 178] [8].

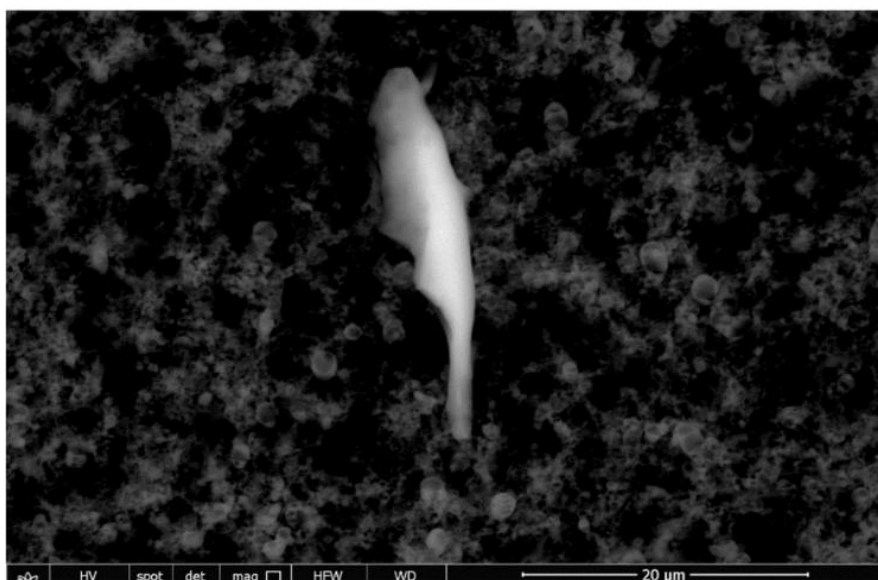
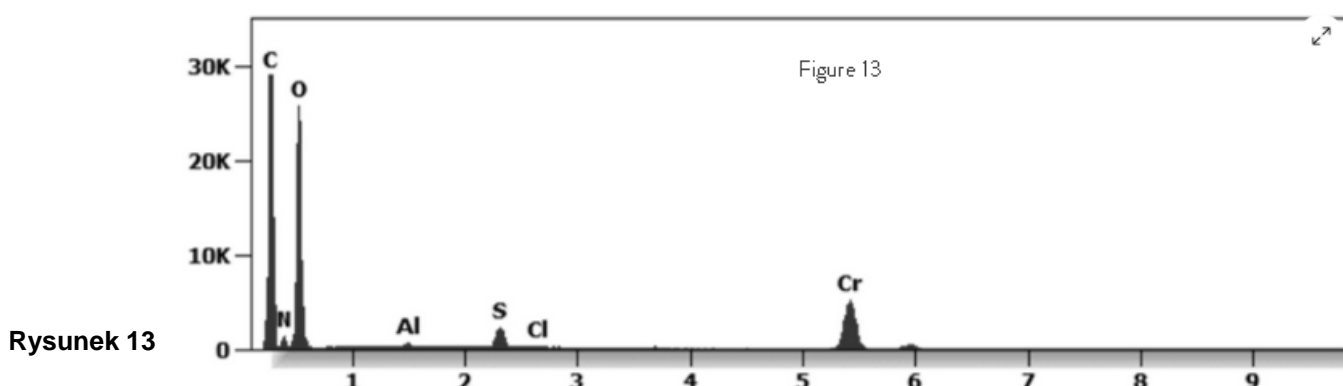


Figure 12 shows a Trypanosoma Parasite approximately 20 microns in length found in the so-called Pfizer "vaccine". It is composed of carbon, oxygen chromium, sulphur, aluminum, chloride and nitrogen.

Rysunek 12 przedstawia **pasożytą Trypanosoma** o długości około 20 mikronów, znajdującego się w tak zwanej "szczepionce" firmy **Pfizer**. Składa się on z **węgla, tlenu, chromu, siarki, glinu, chlorku i azotu**.

Rysunek 13 przedstawia skład nanocząsteczek, w tym **węgla, chromu tlenu, siarki, aluminium, chlorku i azotu**, które również występują w "szczepionkach" CoV-19.



Rysunki 14 i 15 poniżej pokazują mikrograf różnych mikro- i nanocząsteczek, które zostały zidentyfikowane i przeanalizowane w środowiskowym skaningowym mikroskopie elektronowym połączonym z mikrosondą rentgenowską systemu dyspersji energii, który ujawnia chemiczną naturę obserwowanych mikro- i nanocząsteczek.

Biały, 2-mikronowy pył składa się z **bizmutu, węgla, tlenu, aluminium, sodu, miedzi i azotu**.

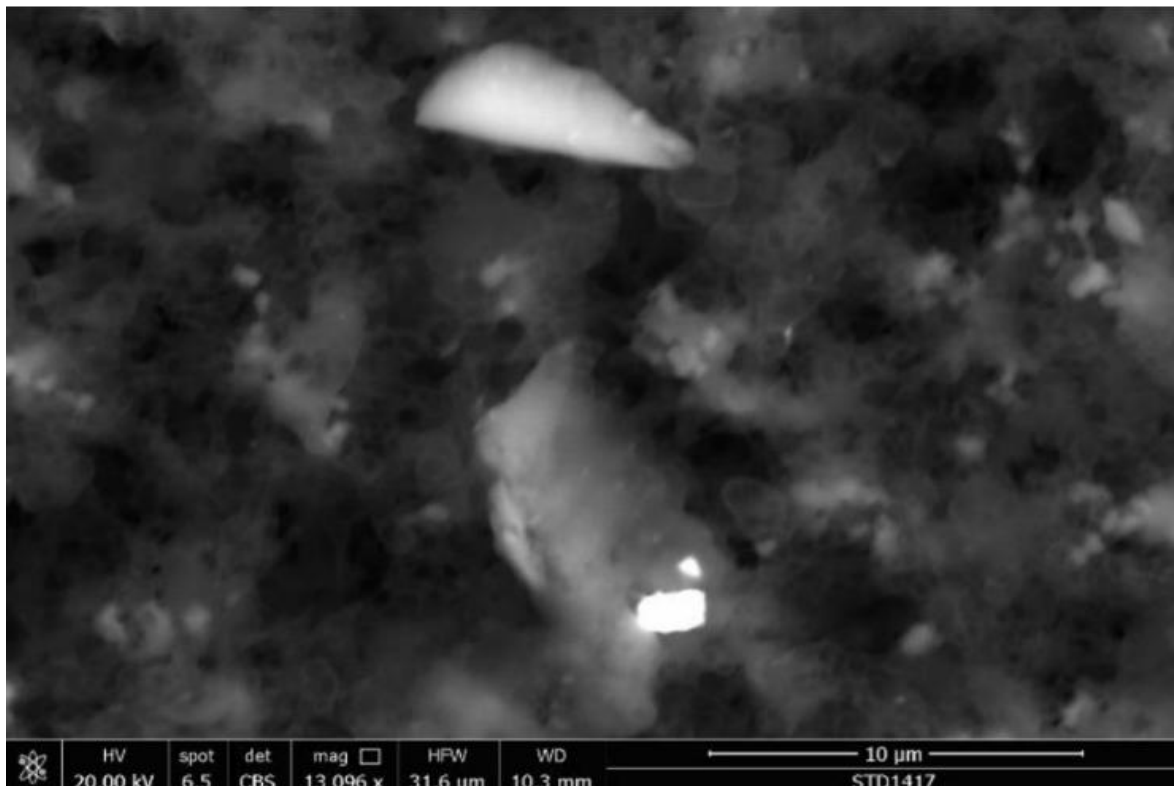


Figure 14 shows nano and micron particulates identified in the Pfizer "vaccine". The white 2 micron long particulate is composed of bismuth, carbon, oxygen, aluminum, sodium, copper and nitrogen.

Rysunek 14 pokazuje nano- i mikronowe cząsteczki zidentyfikowane w "szczepionce" Pfizer. Biała cząsteczka o długości 2 mikronów składa się z **bizmutu, węgla, tlenu, aluminium, sodu, miedzi i azotu**.

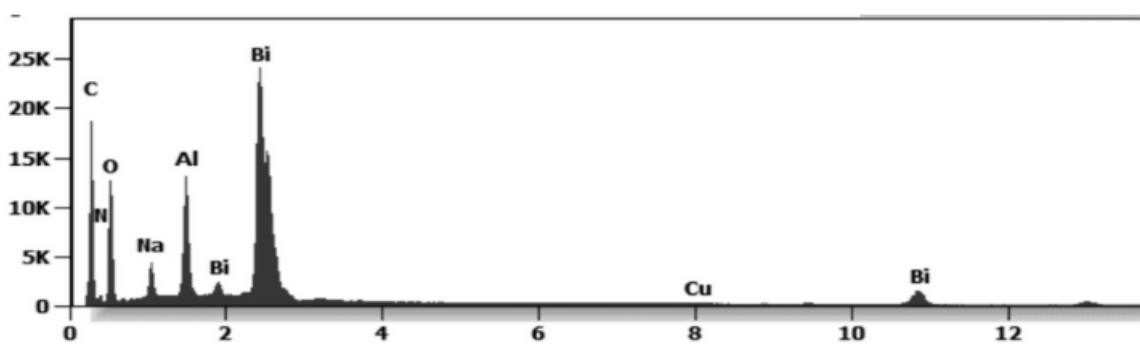


Figure 15 shows that the white 2 micron particulate found in the so-called Pfizer 'vaccine' is composed of bismuth, carbon, oxygen, aluminum, sodium, copper and nitrogen.

Rysunek 15 pokazuje, że białe 2 mikronowe cząsteczki znalezione w tak zwanej "szczepionce" Pfizera składają się z **bizmutu, węgla, tlenu, aluminium, sodu, miedzi i azotu**.

Rysunki 16 i 17 pokazują identyfikację organicznych cząstek węgla, tlenu i azotu z agregatem osadzonych nanocząstek, w tym bizmutu, tytanu, wanadu, żelaza, miedzi, krzemu i aluminium, które zostały znalezione w tak zwanej "szczepionce" Pfizer.

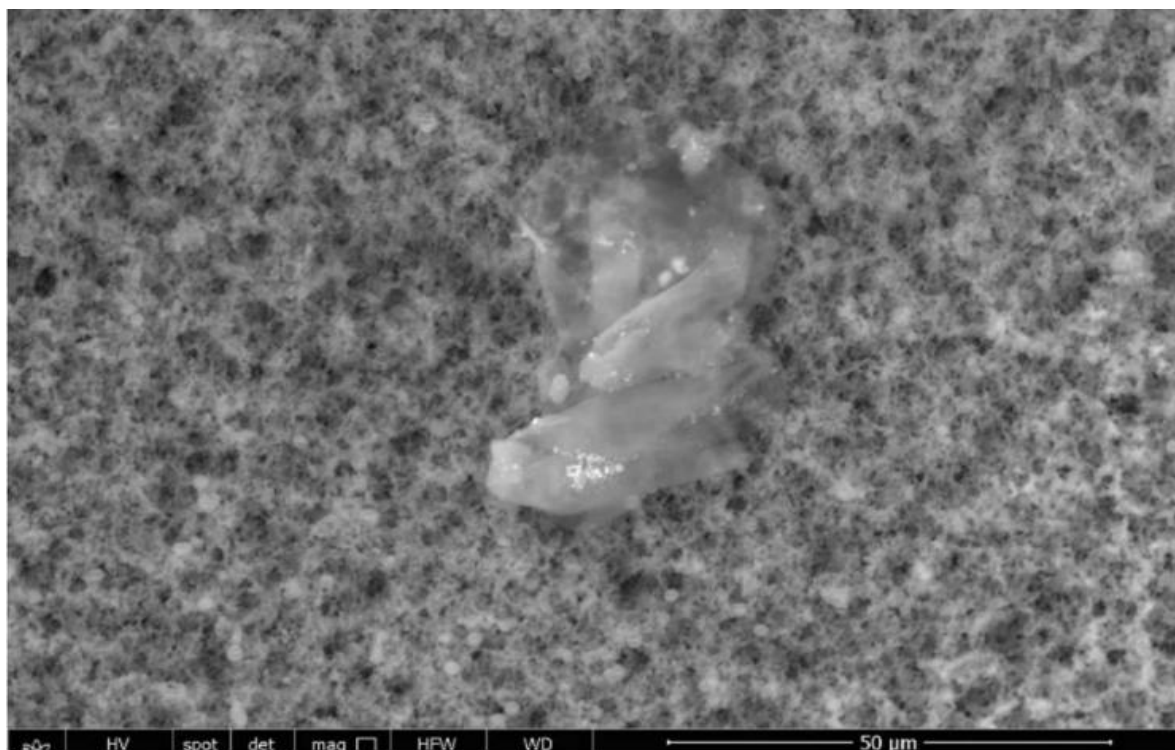


Figure 16 - shows an organic (Carbon-Oxygen-Nitrogen) aggregate with embedded nanoparticles of bismuth, titanium, vanadium, iron, copper, silicon, aluminum embedded in Pfizer "vaccine!"

Rysunek 16 - przedstawia organiczny (Carbon-Oxygen-Nitrogen) agregat z osadzonymi nanocząstkkami **bizmutu, tytanu, wanadu, żelaza, miedzi, krzemu, aluminium osadzonymi w "szczepionce" Pfizer!**

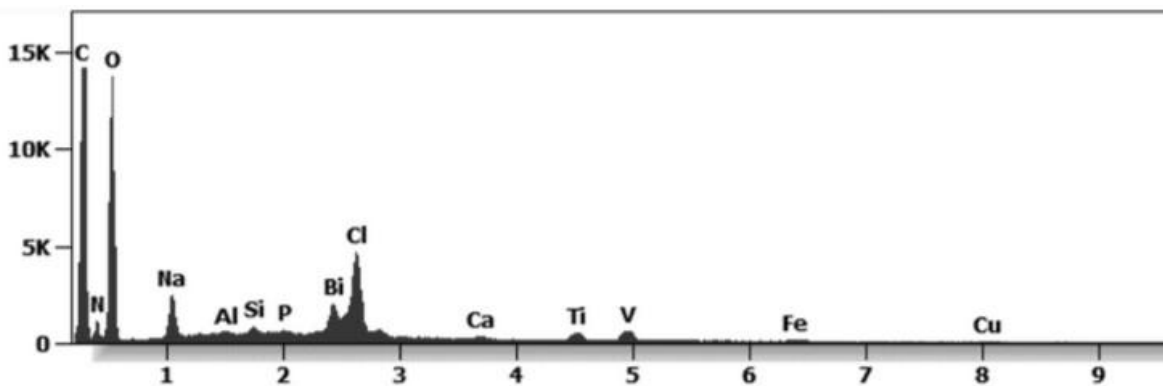


Figure 17 - shows an organic (Carbon-Oxygen-Nitrogen) aggregate with embedded nanoparticles of bismuth, titanium, vanadium, iron, copper, silicon, aluminum embedded in Pfizer "vaccine!"

Rysunek 17 - pokazuje organiczny (Carbon-Oxygen-Nitrogen) agregat z osadzonymi nanocząstkkami **bizmutu, tytanu, wanadu, żelaza, miedzi, krzemu, aluminium osadzonymi w "szczepionce" Pfizer!**

Nieujawione składniki "szczepionki" Astrazeneca

Rysunki 18 i 19 pokazują opracowany agregat **żelaza, chromu i niklu** znany również jako stal nierdzewna z mikro i nano cząstek osadzonych i zidentyfikowanych w "szczepionce" **Astrazeneca** oglądanych pod transmisyjnym mikroskopem elektronowym i oznaczonych ilościowo za pomocą mikrosondy rentgenowskiej systemu dyspersji energii, który ujawnia chemiczną naturę obserwowanych mikro i nano cząstek.

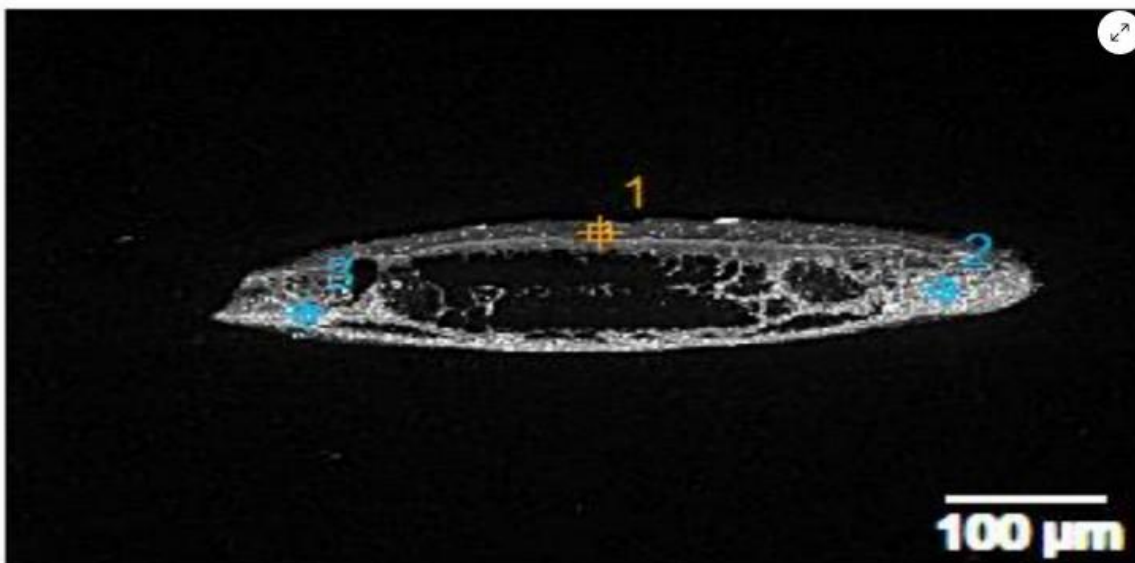


Figure 18 - Engineered aggregate of iron, chromium and nickel also known as stainless steel.

Rysunek 18 - Zbudowany z żelaza, chromu i niklu agregat znany również jako stal nierdzewna.

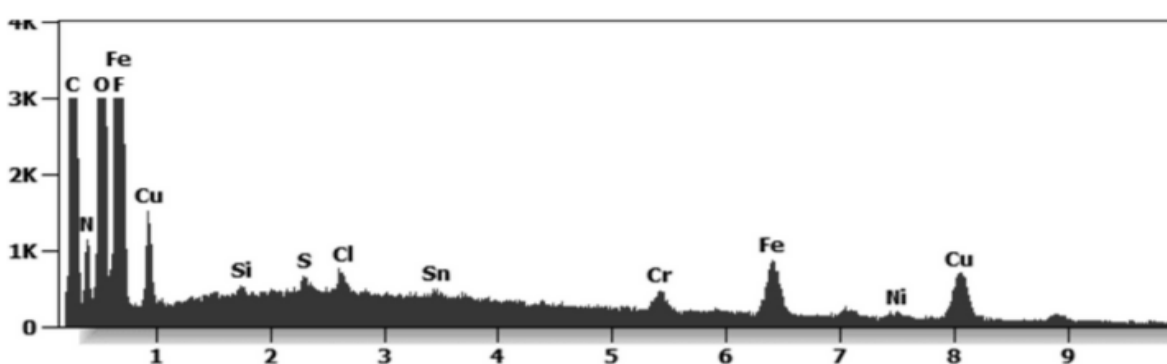


Figure 19 shows the quantified nano particulates in the Astrazeneca "vaccine" with an x-ray microprobe of an Energy Dispersive System that reveals the chemical nature of the observed micro and nano particulates.

Rysunek 19 przedstawia ilościowo określone cząstki nano w "szczepionce" Astrazeneca za pomocą mikroprobówki rentgenowskiej systemu dyspersji energii, która ujawnia chemiczną naturę obserwowanych mikro- i nanocząstek.

Do oceny adiuwantów zawartych w "szczepionce" firmy AstraZeneca użyto przyrządu XRF (fluorescencja rentgenowska), w którym zidentyfikowano następujące cząsteczki **histydyny, sacharozy, glikolu polietylenowego (PEG) lub przeciw zamarzaniu i alkoholu etylenowego**. Wyniki tego testu można zobaczyć na rysunku 19.[9].

Wstrzykiwanie PEG i alkoholu etylenowego jest zarówno znane jako rakotwórcze i genocytotoksyczne.[9] PEG był jedynym adiuwantem zadeklarowanym na karcie danych wymieniającej składniki "szczepionki" AstraZeneca.

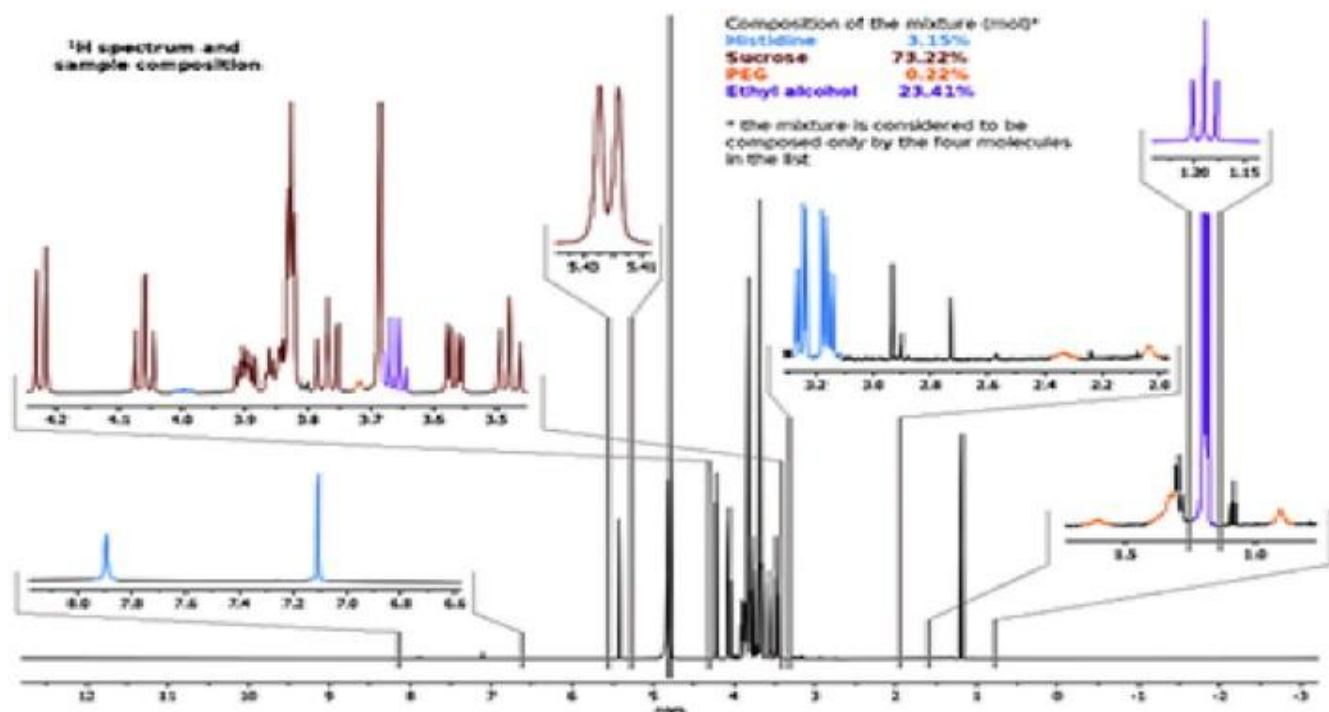


Figure 19 Identifies the Spectrum of AstraZeneca Vaccine Adjuvants. Different colors are used for the four molecules identified by means of reference spectra. Relative concentration is calculated on integrals of reference signals for molecules in a quantitative spectrum acquired with a duty cycle of 5 seconds with the longest calculated T1 was 5sec.

Rysunek 19 przedstawia spektrum adiuwantów szczepionkowych firmy AstraZeneca. Różne kolory są używane dla czterech cząsteczek zidentyfikowanych za pomocą widm referencyjnych. Stężeńie względne jest obliczane na całkach sygnałów referencyjnych dla molekuł w widmie ilościowym, uzyskanych przy cyklu pracy 5 sekund. przy czym najdłuższy obliczony T1 wynosił 5sek.

Nieujawnione składniki "szczepionki" Janssen

Rysunki 20 i 21 przedstawiają organiczno-nieorganiczny agregat zidentyfikowany w "szczepionce" firmy Janssen. Cząstki te składają się ze stali nierdzewnej i są sklejone "klejem na bazie węgla" ze zredukowanego tlenku grafenu.[10]

Agregat ten jest silnie magnetyczny i może wywoływać patologiczną koagulację krwi oraz "Efekt Corony" lub "Efekt Białka Kłosowego" powstający w wyniku degeneracji błony komórkowej na skutek interakcji z innymi dipolami.[10] Te reakcje biologiczne lub przemiany komórkowe można oglądać w żywej krwi pod kontrastem pHazowym i w mikroskopii ciemnego pola na rysunkach 24, 25 i 26.[1][11].

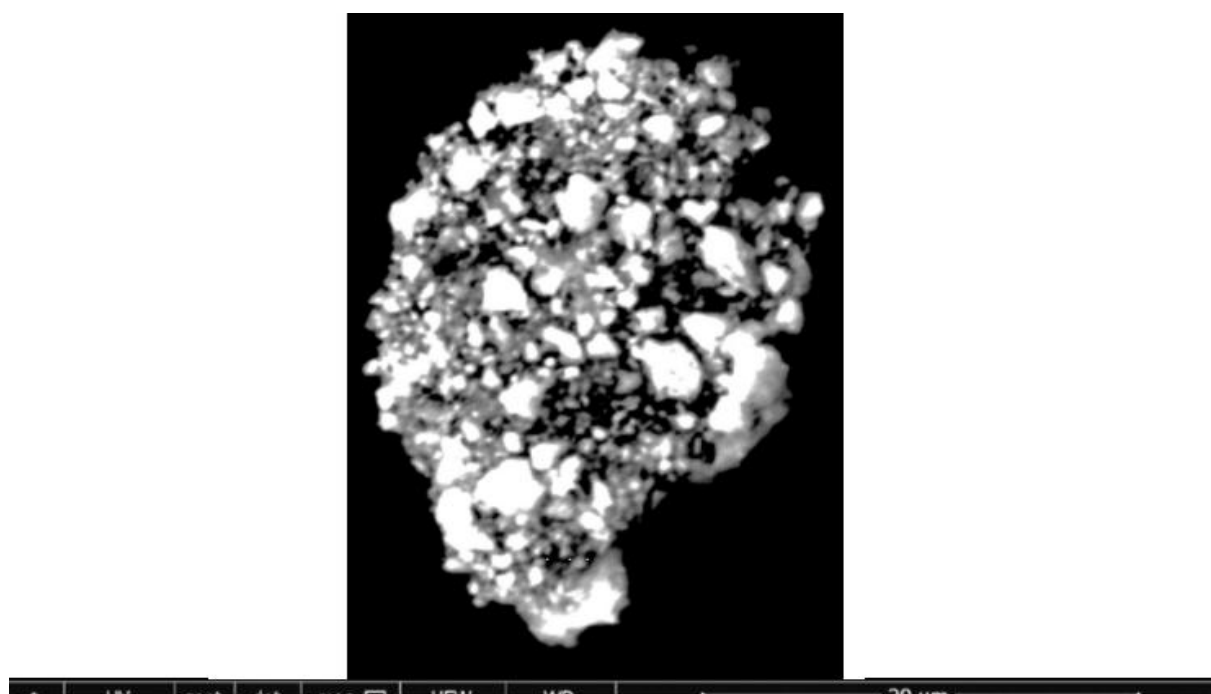


Figure 22 A Stainless Steel Aggregation of Carbon , Oxygen, Iron and Nickel Held Together With Graphene Oxide

Rysunek 22 Agregacja stali nierdzewnej z węgla, tlenu, żelaza i niklu połączona z tlenkiem grafenu

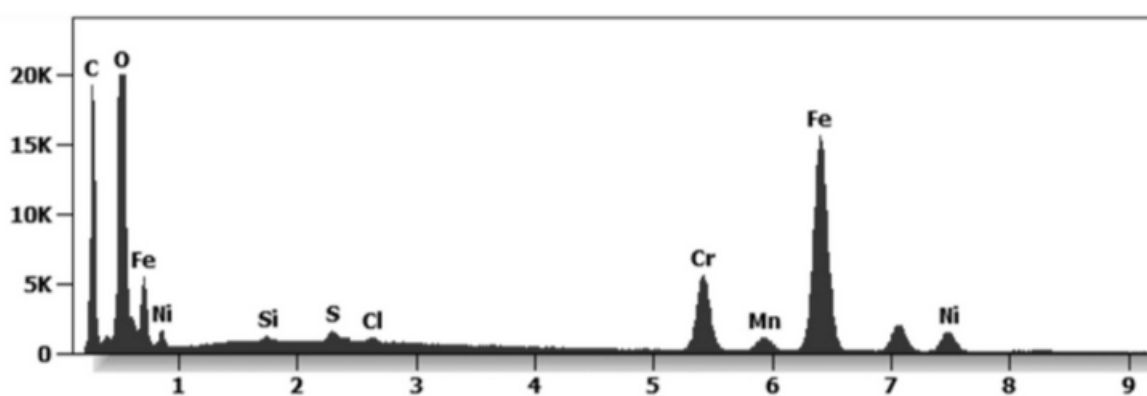


Figure 23

Rysunek 23

Efekt Corony i Efekt Spike Protein

Endogenie stworzony "Efekt Korony" i "Spike Protein" są spowodowane chemicznym i radiacyjnym zatruciem zredukowanym tlenkiem grafenu i promieniowaniem mikrofalowym! [11]

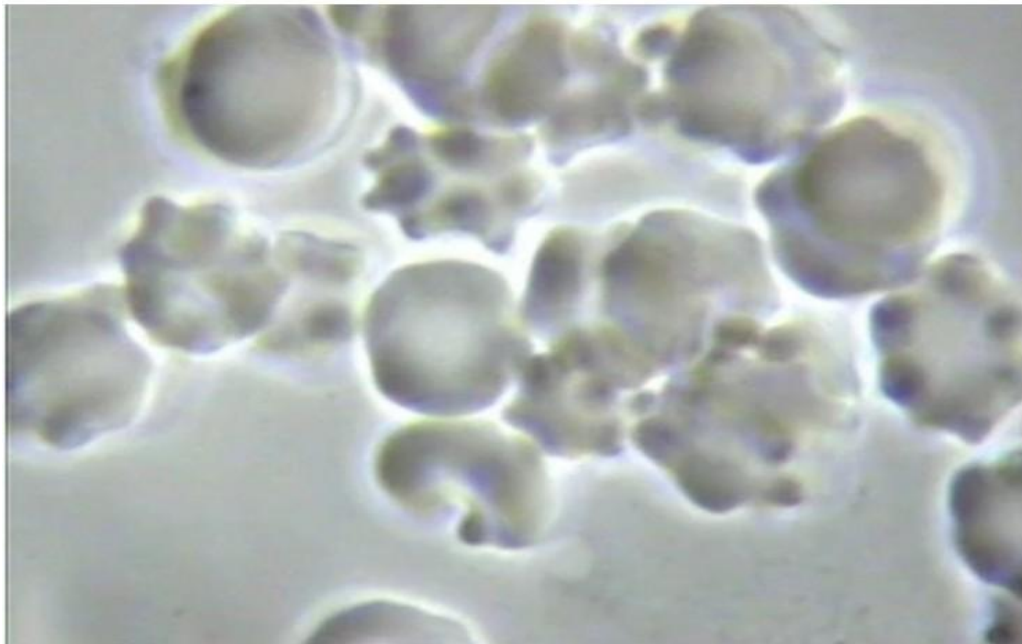


Figure 24 'The Corona Effect' and the Endogenous Creation of Exosomes Due to Chemical and Radiation Poisoning of the Vascular and the Interstitial fluids of the Interstitium

Rysunek 24 "Efekt Corony" i endogenne tworzenie egzosomów w wyniku chemicznego i radiacyjnego zatrucia naczyń i płynów śródmiąższych śródmiąższa.

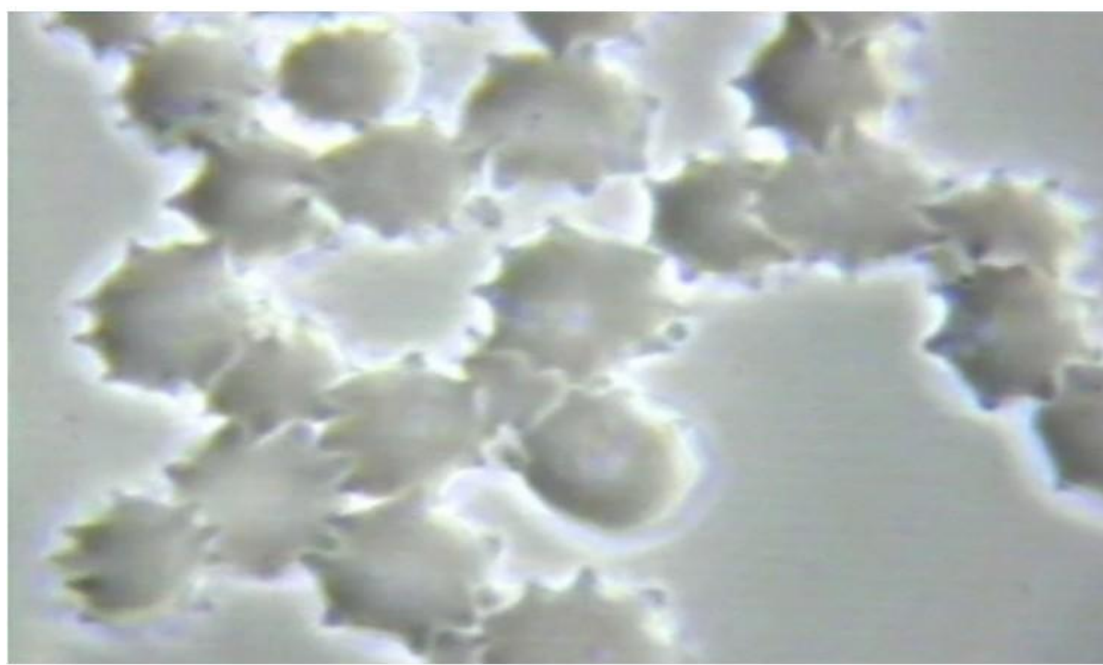


Figure 25 Shows 'The Corona Effect' and the the Endogenous Birth of S1 Protein Spikes Caused by Radiation and Chemical Poisoning or What I Call The 'Protein Spiking Effect'

Rysunek 25 pokazuje "Efekt Corona" i endogenne narodziny S1 kolców białkowych spowodowanych przez promieniowanie i zatrucia chemicznego lub co nazywam "efekt kolców białkowych".



Figure 26 This Micrograph Shows the Endogenous Creation of the "Spike Protein" as an Outfection and NOT an Infection!

Rysunek 26 Ten mikrograf pokazuje endogenne tworzenie "**białka szpiku**" jako zakażenie zewnętrzne, a nie zakażenie!

Rysunki 24 i 25 powyżej pokazują "**EFEKT KORONY**" na czerwonych krwinkach, a **rysunek 26** pokazuje "**EFEKT SPIKED PROTEIN**", oba spowodowane zdekompensovana kwasicaą płynów śródmiąższowych, a następnie naczyniowych, spowodowaną kwaśnym stylem życia, a w szczególności narażeniem na toksyczne pulsujące pola elektromagnetyczne o częstotliwości 2,4 GHz lub wyższej, zatruciem chemicznym z połykanej żywności i wody, toksycznym kwaśnym zanieczyszczeniem powietrza, chemtrails i do tego szczepieniem CoV-19! Proszę sprawdzić swoje uczucia i fałszywe przekonania w drzwiach, zanim przedwcześnie wyrządzisz sobie krzywdę![11]

Nieujawione składniki "szczepionki" Moderna

Rysunki 26 i 27 zidentyfikowały mieszaną całość materii organicznej i nieorganicznej zawartej w "szczepionce" Moderna.

Transmisyjna mikroskopia elektronowa i kwantyfikowane za pomocą mikroprobówki rentgenowskiej Systemu Dyspersji Energii ujawniły chemiczną naturę obserwowanych mikro- i nanocząsteczek.

Tak zwana "szczepionka" Moderny to węglowe podłoże z zredukowanego **tlenku grafenu**, na którym osadzone są pewne nanocząstki. Nanocząstki te składają się z **węgla, azotu, tlenu, aluminium, miedzi, żelaza i chloru.[12]**

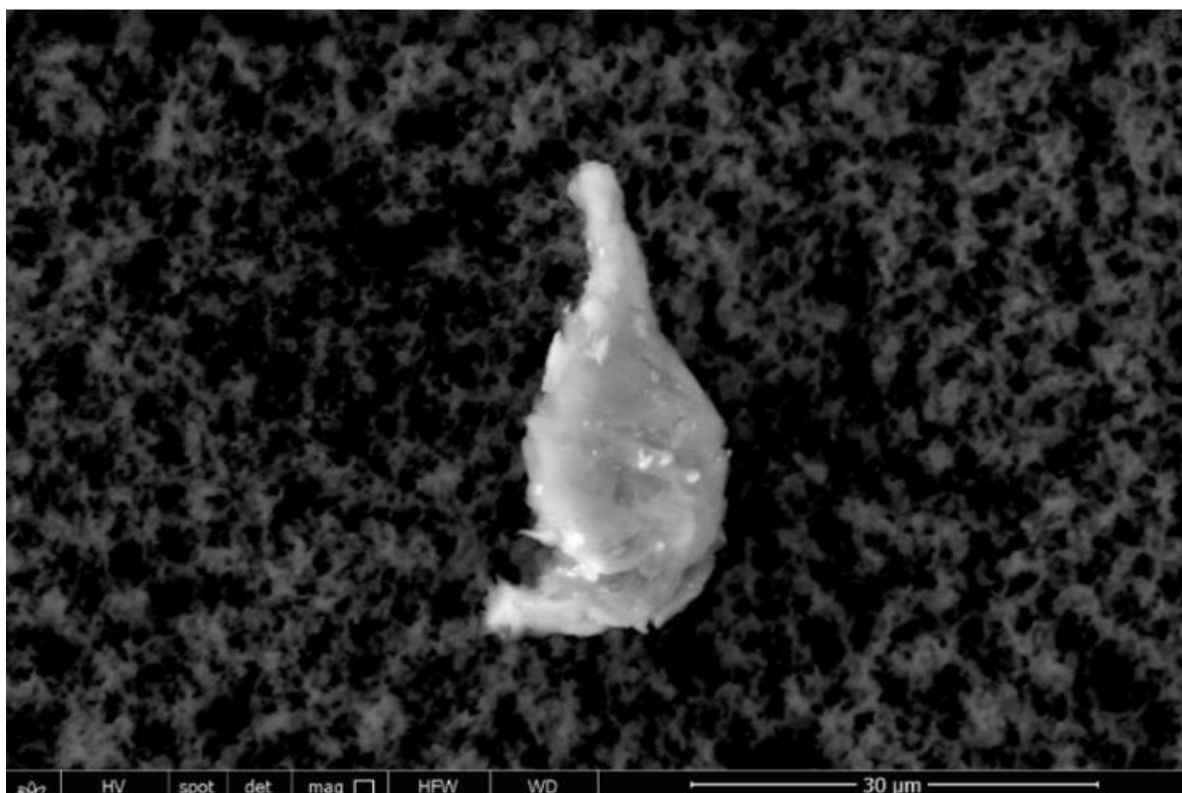


Figure 26 Transmission Electron Microscopy Reveals a Graphene Oxide Composite of Embedded Organic and Non-Organic Matter

Rysunek 26 Transmisyjna mikroskopia elektronowa ujawnia kompozycję **tlenku grafenu** z osadzoną materią organiczną i nieorganiczną

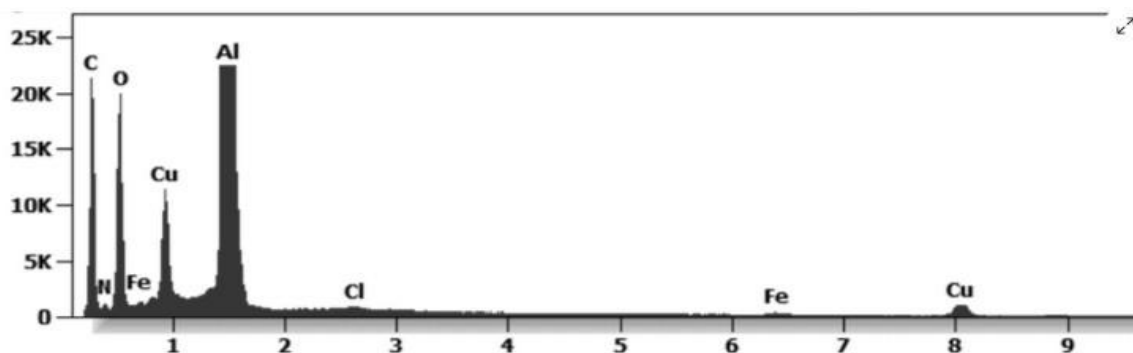


Figure 27 Reveals Embedded Cytotoxic Nano Particulates

Rysunek 27 Ujawnia osadzone cytotoksyczne nanocząsteczki

DISCORD: <https://discord.gg/may3KQP9a8> TELEGRAM: <https://t.me/CrisisConsultingPublicGroup>

Facebook: <https://www.facebook.com/CrisisConsulting>

Strona - 16 z 58 ---- tłumaczenie Redakcja [Crisis-Consulting](#)

Rysunki 27 i 28 przedstawiają analizę, która została również przeprowadzona w transmisyjnym mikroskopie elektronowym i oceniona ilościowo za pomocą mikrosondy rentgenowskiej systemu dyspersji energii i ujawniła chemiczną naturę obserwowanych mikro- i nanocząstek. Zidentyfikowano wiele ciał obcych o morfologii kulistej z pewnymi zagłębieniami w kształcie pęcherzyków.

Rysunek 29 pokazuje, że składają się one z **węgla, azotu, tlenu, krzemu, ołowiu, kadmu i selenu**. **Ten wysoce toksyczny skład nanocząstek to kropki kwantowe selenku kadmu, które są cytotoksyczne i genotoksyczne.** [13][14]

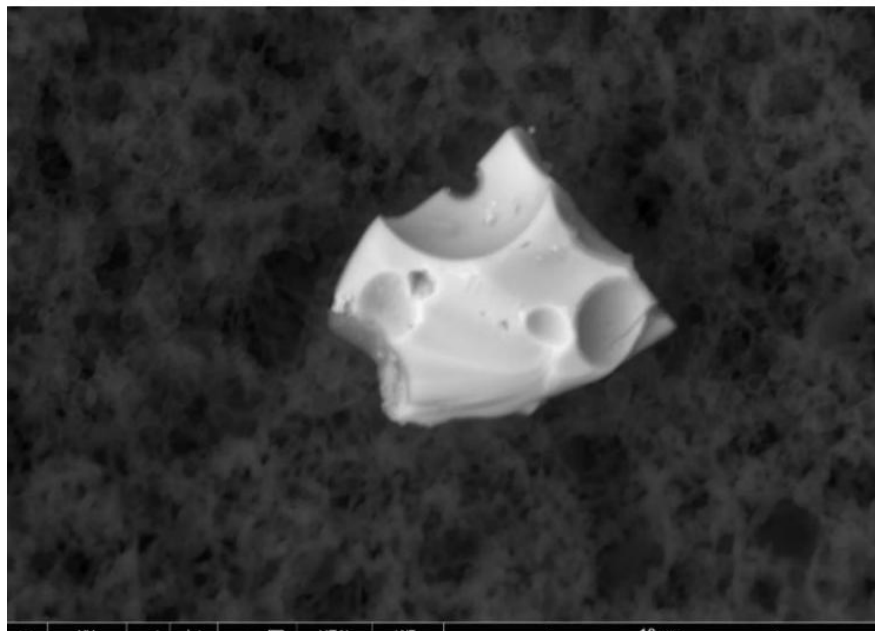


Figure 27 Reveals the Nano Dots in the Graphene Oxide Found in the Moderna "Vaccine"

Rysunek 27 ujawnia nanokropki w **tlenku grafenu** znalezionym w "szczepionce" **Moderyn**

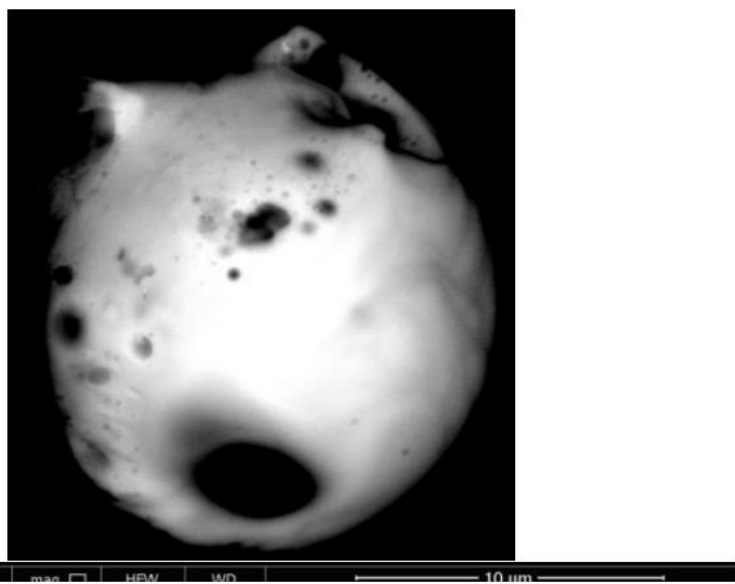


Figure 28 Reveals the Nano Dots in the Graphene Oxide Found in the Moderna "Vaccine"

Rysunek 28 ujawnia nanokropki w **tlenku grafenu** znalezionym w "szczepionce" **Moderyn**

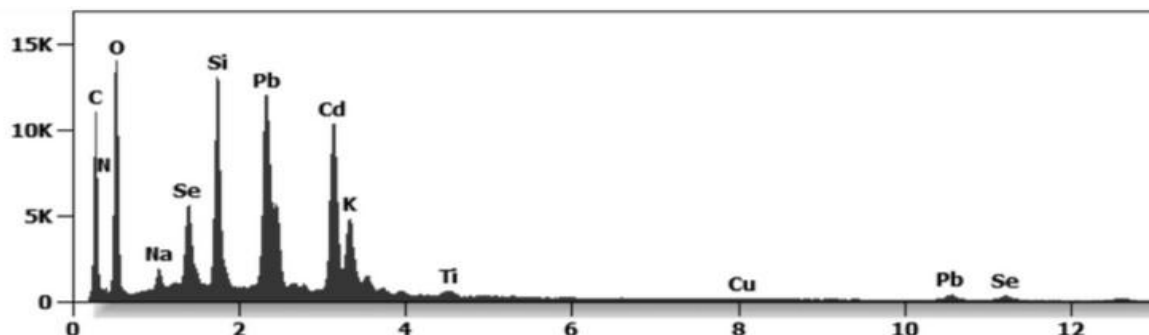


Figure 29 Reveals the Cytotoxic and Genotoxic Composite of Nano Particulates in Graphene Oxide Found in the Moderna "Vaccine"

Rysunek 29 ujawnia cytotoksyczne i genotoksyczne połączenie nanocząsteczek w tlenku grafenu znalezione w "szczepionce" Moderny

Rys. 30 i 31 dalsza analiza tzw. "szczepionki" Moderny wykazała 100-mikronowy symplast kompozytu nanocząstek zredukowanego tlenku grafenu. RGO składa się z węgla i tlenu z zanieczyszczeniami nanocząsteczkami azotu, krzemu, fosforu i chloru Chlor.[15]

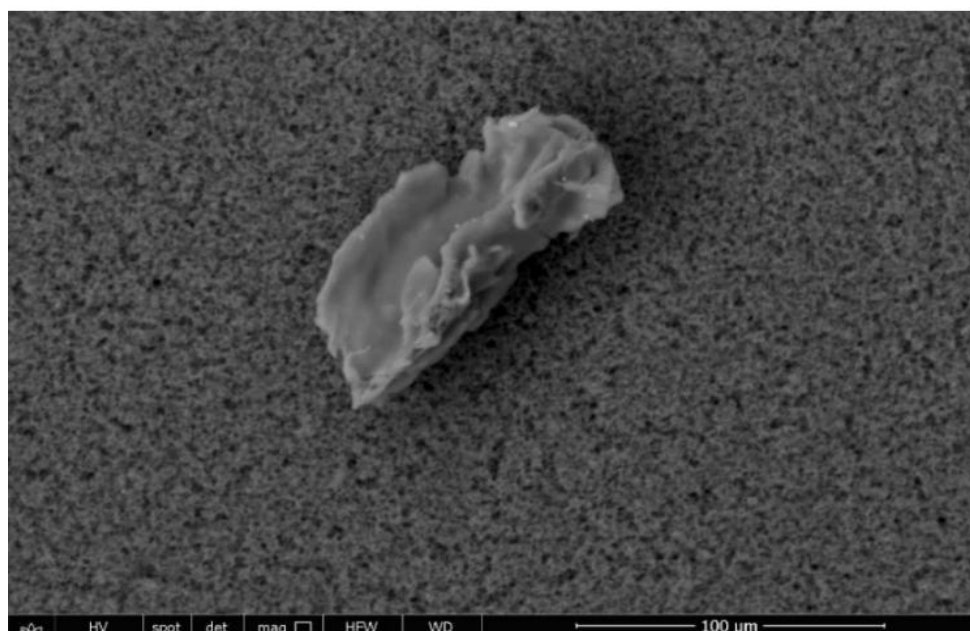


Figure 30 Transmission Electron Microscopy Reveals a Large 100 micron Symplast Composite of Reduced Graphene Oxide

Rysunek. 30 Transmisjywna mikroskopia elektronowa ukazuje duży, 100-mikronowy kompozyt **Symplastu z redukującym tlenkiem grafenu**

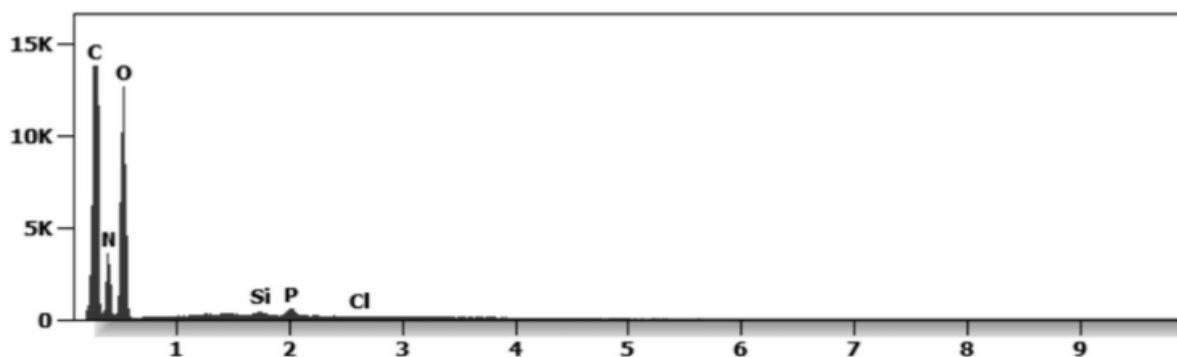


Figure 31 Reveals the Nano Particulate Complex Contained in the Moderna "Vaccine"

Rysunek 31 przedstawia kompleks nanocząsteczek zawarty w "szczepionce" **Moderyn**
DISCORD: <https://discord.gg/may3KQP9a8> TELEGRAM: <https://t.me/CrisisConsultingPublicGroup>
Facebook: <https://www.facebook.com/CrisisConsulting>
Strona - 18 z 58 ---- tłumaczenie Redakcja [Crisis-Consulting](#)

Rysunki 32 i 33 przedstawiają węglowe byty oksydacyjne ze zredukowanego grafenu w "szczepionce" Moderna zmiesiane z agregatami wypełnionymi nanocząsteczkami krzemianu glinu.[16].

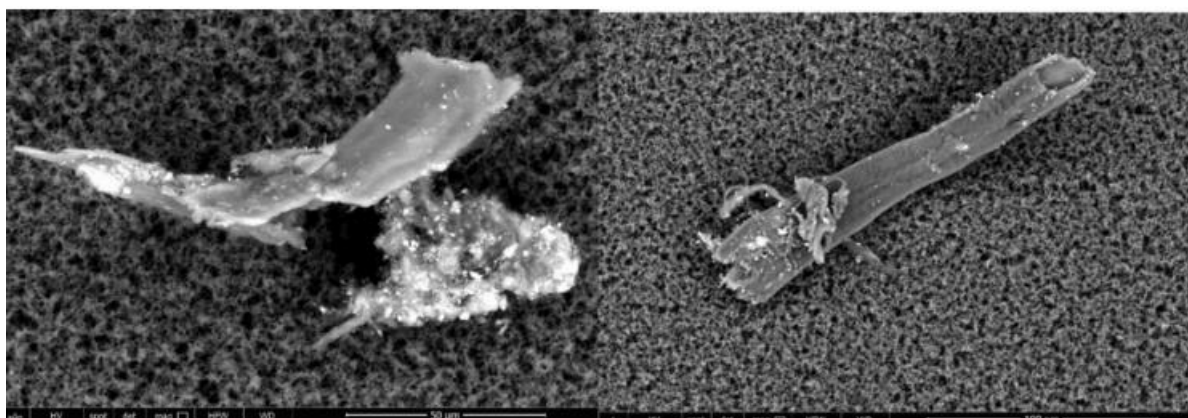


Figure 32 Reveals a Complex of Graphene Oxide and Aluminium Silicate Using Transmission Electron Microscopy

Rysunek 32 ukazuje kompleks tlenku grafenu i krzemianu glinu za pomocą transmisyjnej mikroskopii elektronowej.

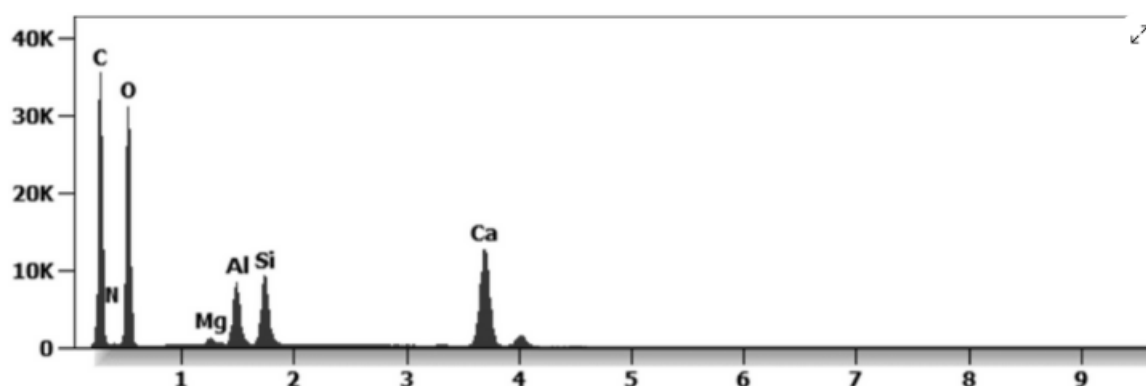


Figure 33 Reveals the Nano Elements of Graphene Oxide and Aluminum Silicate Contained in the Moderna "Vaccine"

Rysunek 33 ujawnia nanoelementy tlenku grafenu i krzemianu glinu zawarte w "szczepionce" Moderny

Dyskusja

Pfizer, Moderna, AstraZeneca i Janssen NIE są "szczepionkami", ale złożonymi agregatami nanocząsteczek tlenku grafenu o różnej wielkości nanoelementów, dołączonymi do genetycznie zmodyfikowanych kwasów nukleinowych mRNA, jak to zostało przedstawione i opisane powyżej, i są wysoce magnetotoksyczne, cytotoxyczne i genotoksykczne dla roślinnych, zwierzęcych i ludzkich błon komórkowych i ich genetyki, co może prowadzić do poważnych obrażeń lub śmierci. [17][18] do [52]

Tak zwani "eksperci" mówią wam, że szczepionki przeciwko CoV-19 są JEDYNYM sposobem na powstrzymanie rozprzestrzeniania się CoV-19...

Że są one bezpieczne - pomimo tak wielu udokumentowanych dowodów przeciwnych...

Że są skuteczne - pomimo tego, że miliony "podwójnie zaszczepionych" ludzi bardzo choruje, rozprzestrzenia CoV-19 i umiera...[52].

Że MUSISZ dostać co najmniej dwa zastrzyki PLUS "boostery", aby żyć "normalnie"...

A wkrótce powiedzą wam, że nie macie wyboru, ale musicie przestrzegać WSZYSTKICH ich MANDATÓW!

Pamiętajcie ...

NIE POZWÓŁ, ABY KTOKOLWIEK ODEBRAŁ CI WOLNOŚĆ ZDROWOTNĄ!

To TWOJE ciało, TWOJE życie i TWÓJ wybór!

Wiedza to potęga. I jest kluczem do zrozumienia, dlaczego eksperymentalne szczepionki CoV-19 są tak niebezpieczne - pomimo oficjalnej narracji korporacyjnych mediów, które tłumią i cenzurują każdego, kto ośmiela się mówić o tym głośno.

Masz kontrolę nad własnym zdrowiem. Nie padaj ofiarą globalnych rządów i biurokratów, którzy naciskają na wszystkich, aby się zaszczepili. Miliarder "filantrop" Bill Gates i miliarderzy z Big Tech uważają, że wiedzą, co jest najlepsze dla Ciebie i Twojej rodziny.

Musisz mieć wolność decydowania o tym, co jest dla Ciebie dobre. Nie pozwól, aby rządy i pracodawcy zmuszali cię do poddania się szczepieniom "dla twojego dobra".

I nigdy nie pozwólcie, aby anulowana kultura sprawiła, że będziecie się bali stanąć w obronie swoich praw!

Aby dowiedzieć się więcej o wirusach, szczepionkach i teorii wirusowej, proszę przeczytać i przestudiować A Second Thought About Viruses, Vaccines and the HIV AIDS Hypothesis. Możesz zamówić tę książkę pod adresem:

<https://www.phmiracleproducts.com/collections/books-audio-video/products/second-thoughts-about-viruses-vaccines-and-the-hiv-aids-hypothesis-booklet>



Przeczytaj i dowiedz się więcej o wirusach, szczepionkach i teorii wirusów w następujących artykułach naukowych!



Robert O Young MSc, DSc, PhD, Naturopathic Practitioner

Robert O Young MSc, DSc, PhD, Naturopathic Practitioner

1. Krzywe epidemii w najbardziej zaszczepionych krajach

<https://www.drrobertyoung.com/post/world-health-organization-who-publishes-epidemic-curves-of-the-most-vaccinated-countries>

2. Szwecja podąża za nauką biologiczną, a nie za nauką polityczną

<https://www.drrobertyoung.com/post/sweden-is-following-the-biological-science-not-the-political-science>

3. Co się dzieje w Indiach

<https://www.drrobertyoung.com/post/what-happened-in-india>

4. Przetrwać plagę korupcji

<https://www.drrobertyoung.com/post/surviving-the-plague-of-corruption>

5. Obalanie teorii wirusów

<https://www.drrobertyoung.com/post/dismantling-the-viral-theory>

6. Corona na procesie -

<https://www.drrobertyoung.com/post/corona-on-trial-explosive-and-exclusive>

7. Syndrom Kuby Hawańskiej spowodowany przez ukierunkowane pulsujące mikrofale EMF

<https://www.drrobertyoung.com/post/the-havana-syndrome-pulsating-microwaves>

8. CDC TERAZ przyznaje, że nie ma "złotego standardu" dla izolacji jakiegokolwiek wirusa! -

<https://www.drrobertyoung.com/post/cdc-now-admits-no-gold-standard-for-the-isolation-for-any-virus?postId=60c4dbc74f7fc9002ba2507e>

9. Odpowiedzi w ramach wolności informacji na temat CoV - 2, obecnie CoV - 19.

<https://www.drrobertyoung.com/post/freedom-of-information-responses-on-cov->

10. Dlaczego wirusy nie istnieją! -

<https://www.drrobertyoung.com/post/why-viruses-do-not-exist>

11. Raport 255 | Dr. Robert Young: Wszystkie choroby to zakażenia, a nie infekcje - szczepionka Nano to broń biologiczna!

<https://www.bitchute.com/video/rdQhuY455VmK>

12. Raport 255 | Dr. Robert Young: Wszystkie choroby to zakażenie, nie infekcja | Nanocząsteczki lipidowe szczepionki z grafenem plus promieniowanie to broń biologiczna - żaden wirus COVID nie istnieje!

<https://www.brighteon.com/250210af-c8a3-47a1-8922-c960342fe2fb>

13. Raport 255 | Dr. Robert Young: Wszystkie choroby to zakażenia, a nie infekcje - szczepionka Nano to broń biologiczna!

<https://odysee.com/@RamolaDReports:8/Report-255---Dr.-Robert-Young-Explains-Disease-by-Outfection,-Lipid-Nanoparticles-with-Graphene-the:4>

14. Zapomnij o wszystkim innym! Spójrzcie na liczby rannych i zmarłych w VAER!

<https://www.drrobertyoung.com/post/forget-everything-else-you've-heard-just-look-at-the-numbers>

15. Dr. Robert O. Young Świadectwo ITNJ

<https://youtu.be/gKjnEz5s37o>

Zapisz się na BEZPŁATNY Newsletter Dr. Younga TERAZ na:

wwwdrrobertyoung.com

Referencje

[1] Ou, L., Song, B., Liang, H. et al. Toxicity of graphene-family nanoparticles: a general review of the origins and mechanisms. *Part Fibre Toxicol* **13**, 57 (2016). <https://doi.org/10.1186/s12989-016-0168-y>

DISCORD: <https://discord.gg/may3KQP9a8> TELEGRAM: <https://t.me/CrisisConsultingPublicGroup>
Facebook: <https://www.facebook.com/CrisisConsulting>

Strona - 24 z 58 ---- tłumaczenie Redakcja Crisis-Consulting

- [2] Young RO (2016) Pathological Blood Coagulation and the Mycotoxic Oxidative Stress Test (MOST). *Int J Vaccines Vaccin* 2(6): 00048. DOI: [10.15406/ijvv.2016.02.00048](https://doi.org/10.15406/ijvv.2016.02.00048)
- [3] Xu et al, (2019) Identification of graphene oxide and its structural features in solvents by optical microscopy, *RSC Adv.*, 9, 18559-18564
- 1-Extraction RNA Kit <https://www.fishersci.es/shop/products/ambion-purelink-rna-mini-kit7/10307963>
- 2- NanoDrop™ <https://www.thermofisher.com/order/catalog/product/ND-2000#/ND-2000>
- 3- QUBIT2.0: <https://www.thermofisher.com/es/es/home/references/newsletters-andjournals/bioprobe-journal-of-cell-biology-applications/bioprobe-issues-2011/bioprobe-64-april2011/the-qubit-2-0-fluorometer-april-2011.html>
- [4] Kim et al, Seeing graphene-based sheets, *Materials Today*, Volume 13, Issue 3, 2010, Pages 28-38, ISSN 1369-7021, [https://doi.org/10.1016/S1369-7021\(10\)70031-6](https://doi.org/10.1016/S1369-7021(10)70031-6)
- [5] Bano, I. et al , 2019. Exploring the fluorescence properties of reduced graphene oxide with tunable device performance, *Diamond and Related Materials*, Volume 94, 59-64, ISSN 0925-9635, <https://doi.org/10.1016/j.diamond.2019.02.021>.
- [6] Biroju, Ravi & Narayanan, Tharangattu & Vineesh, Thazhe Veettil. (2018). New advances in 2D electrochemistry—Catalysis and Sensing. [10.1201/9781315152042-7](https://doi.org/10.1201/9781315152042-7).
- [7] Choucair, M., Thordarson, P. & Stride, J. Gram-scale production of graphene based on solvothermal synthesis and sonication. *Nature Nanotech* 4, 30–33 (2009).
<https://doi.org/10.1038/nnano.2008.365>
- [8] **Atlas of Human Parasitology, 4th Edition, Lawrence Ash and Thomas Orithel, pages 174 to 178**
- [9] Mano, S.S.; Kanehira, K.; Sonezaki, S.; Taniguchi, A. Effect of Polyethylene Glycol Modification of TiO₂ Nanoparticles on Cytotoxicity and Gene Expressions in Human Cell Lines. *Int. J. Mol. Sci.* **2012**, *13*, 3703-3717. <https://doi.org/10.3390/ijms13033703>
- [10] Srivastava AK, Dwivedi N, Dhand C, et al. Potential of graphene-based materials to combat COVID-19: properties, perspectives, and prospects. *Mater Today Chem.* 2020;18:100385. doi:[10.1016/j.mtchem.2020.100385](https://doi.org/10.1016/j.mtchem.2020.100385)
- [11] Young, RO, "The Effects of ElectroMagnetic Frequencies (EMF) on the Blood and Biological Terrain." <https://www.drrobertyoung.com/post/the-effects-electromagnet-frequencies-on-the-blood-and-biological-terrain>
- [16] Gatti AM, Manti A, Valentini L, Montanari S, Gobbi P, et al. (2016) Nano biointeraction of particulate matter in the blood circulation. *Frontiers* 30: 3.
- [13] Nikazar, S., Sivasankarapillai, V.S., Rahdar, A. et al. Revisiting the cytotoxicity of quantum dots: an in-depth overview. *Biophys Rev* **12**, 703–718 (2020). <https://doi.org/10.1007/s12551-020-00653-0>

[14] Ritesh Banerjee, Priya Goswami, Manoswini Chakrabarti, Debolina Chakraborty, Amitava Mukherjee, Anita Mukherjee, Cadmium selenide (CdSe) quantum dots cause genotoxicity and oxidative stress in Allium cepa plants, Mutation Research/Genetic Toxicology and Environmental Mutagenesis, Volume 865, 2021, 503338, ISSN 1383-5718,
<https://doi.org/10.1016/j.mrgentox.2021.503338>.

[15] Wanjun Cao, Lin He, Weidong Cao, Xiaobing Huang, Kun Jia, Jingying Dai, Recent progress of graphene oxide as a potential vaccine carrier and adjuvant, Acta Biomaterialia, Volume 112, 2020, Pages 14-28, ISSN 1742-7061, <https://doi.org/10.1016/j.actbio.2020.06.009>.
[\(https://www.sciencedirect.com/science/article/pii/S1742706120303305\)](https://www.sciencedirect.com/science/article/pii/S1742706120303305)

[16] Concise Encyclopedia of Composite Materials, ed. Anthony Kelly, MIT Press, 1989, [ISBN0-262-11145-4](#)

[17] L. Harivardhan Reddy, José L. Arias, Julien Nicolas, and Patrick Couvreur, "Magnetic Nanoparticles: Design and Characterization, Toxicity and Biocompatibility, Pharmaceutical and Biomedical Applications." Chemical Reviews **2012** 112 (11), 5818-5878 DOI: 10.1021/cr300068p

[18] US Dpt of health and human services (1996) Report Update: Vaccine Side Effects, Adverse Reactions, Contraindications, and Precautions. CDC 45(RR-12): 1-35.

[19] Ottaviani G, Lavezzi AM, Matturri L (2006) Sudden infant death syndrome (SIDS) shortly after hexavalent vaccination: pathology in suspected SIDS? Virchows Arch 448(1): 100-104.

[20] Taylor B, Miller E, Farrington CP, Petropoulos MC, Favot-Mayaud I, et al. (1999) Autism and measles, mumps, and rubella vaccine: no epidemiological evidence for a causal association. Lancet 353(9169): 2026-2029.

[21] Demicheli V, Rivetti A, Debalini MG, Di Pietrantonj C (2012) Vaccines for measles, mumps and rubella in children. Cochrane Database Syst Rev 15(2): CD004407. New Quality-Control Investigations on Vaccines: Micro- and Nanocontamination 13/13 Copyright: ©2016 Gatti et al. Citation: Gatti AM, Montanari S (2016) New Quality-Control Investigations on Vaccines: Micro- and Nanocontamination. Int J Vaccines Vaccin 4(1): 00072. DOI: 10.15406/ijvv.2017.04.00072

[22] Carola Bardage, Ingemar Persson, Åke Örtqvist, Ulf Bergman, Jonas F Ludvigsson, et al. (2011) Neurological and autoimmune disorders after vaccination against pandemic influenza A (H1N1) with a monovalent adjuvanted vaccine: population based cohort study in Stockholm, Sweden. BMJ 343: d5956.

[23] Johann Liang R (2012) Updating the Vaccine Injury Table following the 2011 IOM Report on Adverse Effects of vaccines. HRSA, pp. 1-27.

[24] L Tomljenovic, CA Shaw (2011) Aluminum Vaccine Adjuvants: Are they Safe? Current Medicinal Chemistry 18(17): 2630-2637.

[25] Shaw CA, Petrik MS (2009) Aluminum hydroxide injections lead to motor deficits and motor neuron degeneration. J Inorg Biochem 103(11): 1555-1562.

- [26]** Authier FJ, Sauvat S, Christov C, Chariot P, Raisbeck G, et al. (2006) AIOH3-adjuvanted vaccine-induced macrophagic myofasciitis in rats is influenced by the genetic background. Neuromuscul Disord 16(5): 347-352.
- [27]** Exley C, Esiri MM (2006) Severe cerebral congophilic angiopathy coincident with increased brain aluminium in a resident of Camelford, Cornwall, UK. J Neurol Neurosurg Psychiatry 77(7): 877- 879.
- [28]** Wills MR, Savory J (1985) Water content of aluminium, dialysis dementia, and osteomalacia. Environ Health Perspect 63: 141-147.
- [29]** Brinth L, Pors K, Theibel AC, Mehlsen J (2015) Suspected side effects to the quadrivalent human papilloma vaccine. Danish Medical J 62(4): 1-12.
- [30]** Palmieri B, Poddighe D, Vadalà M, Laurino C, Carnovale C, et al. (2016) Severe somatoform and dysautonomic syndromes after HPV vaccination: case series and review of literature. Immunol Res.
- [31]** Visani G, Manti A, Valentini L, Canonico B, Loscocco F, et al. (2016) Environmental nanoparticles are significantly over-expressed in acute myeloid leukemia. Leuk Res 50: 50-56.
- [32]** Artoni E, Sighinolfi GL, Gatti AM, Sebastiani M, Colaci M, et al. (2016) Micro and nanoparticles as possible pathogenetic co-factors in mixed cryoglobulinemia. Occupational Medicine.
- [33]** T Hansen, L Klimek, F Bittinger, I Hansen, A Gatti, et al. (2008) Mast cell reiches Aluminium granuloma Pathologe 29(4): 311-313.
- [34]** Gatti AM, Manti A, Valentini L, Montanari S, Gobbi P, et al. (2016) Nano biointeraction of particulate matter in the blood circulation. Frontiers 30: 3.
- [35]** Tenzer S, Docter D, Rosfa S, Włodarski A, Kuharev J, et al. (2011) Nanoparticle size is a critical physicochemical determinant of the human blood plasma corona: a comprehensive quantitative proteomic analysis. ACS Nano 5(9): 7155-167.
- [36]** Radauer Preiml , Andosch A, Hawranek T, Luetz-Meindl U, Wiederstein M, et al. (2015) Nanoparticle-allergen interactions mediate human allergic responses: protein corona characterization and cellular responses. Fibre toxicology 13: 3.
- [37]** Cedervall T, Lynch I, Lindman S, Berggård T, Thulin E, et al. (2016) Understanding the nanoparticle-protein corona using methods to quantify exchange rates and affinities of proteins for nanoparticles. PNAS 104 (7): 2050-2055.
- [38]** Lynch I, Cedervall T, Lundqvist M, Cabaleiro-Lago C, Linse S, et al. (2007) The nanoparticle-protein complex as a biological entity; a complex fluids and surface science challenge for the 21st century. Advances in Colloid and Interface Science 134-135: 167-174.
- [39]** Gatti AM, Quaglino D, Sighinolfi GL (2009) A Morphological Approach to Monitor the Nanoparticle-Cell Interaction. International Journal of Imaging and Robotics 2: 2-21.

- [40]** Urban RM, Jacobs JJ, Gilbert JL, Galante JO (1994) Migration of corrosion products from modular hip prostheses. Particle microanalysis and histopathological findings. The Journal of Bone and Joint Surgery 76(9): 1345-1359.
- [41]** Kirkpatrick CJ, Barth S, Gerdes T, Krump-Konvalinkova V, Peters (K 2002) Pathomechanisms of impaired wound healing by metallic corrosion products. Mund Kiefer Gesichtschir 6(3): 183-190.
- [42]** Lee SH, Brennan FR, Jacobs JJ, Urban RM, Ragasa DR, et al. (1997) Human monocyte/macrophage response to cobalt-chromium corrosion products and titanium particles in patients with total joint replacements. J Orthop Res 15(1): 40-49.
- [43]** Shaw CA, Seneff S, Kette SD, Tomljenovic L, Oller Jr JW, et al. (2014) Aluminum-Induced Entropy in Biological Systems: Implications for Neurological Disease. Journal of Toxicology 2014: 491316.
- [44]** Shaw CA, Kette SD, Davidson RM, Seneff S (2013) Aluminum™s Role in CNS-immune System Interactions leading to Neurological Disorders. Immunome Research 9: 069.
- [45]** Seneff S, Swanson N, Chen Li (2015) Aluminum and Glyphosate Can Synergistically Induce Pineal Gland Pathology: Connection to Gut Dysbiosis and Neurological Disease. Agricultural Sciences 6(1): 42- 70.
- [46]** Pegaz B, Debefve E, Ballini JP, Konan-Kouakou YN, van den Bergh HJ (2006) Effect of nanoparticle size on the extravasations and the photothrombic activity of meso(p-tetracarboxyphenyl)porphyrin. J Photochem Photobiol B 85(3): 216-222.
- [47]** Brinth LS, Pors K, Hoppe AG, Badreldin I, Mehlsen J (2015) Is Chronic Fatigue Syndrome/Myalgic Encephalomyelitis a Relevant Diagnosis in Patients with Suspected Side Effects to Human Papilloma Virus Vaccine? International Journal of Vaccines and Vaccination 1(1):1-5.
- [48]** Moos WH, Faller DV, Harpp DN, Kanara I, Pernokas J, et al. (2016) Microbiota and Neurological Disorders: A Gut Feeling. Biores Open Access 5(1): 137-145.
- [49]** Sekirov I, Russell SL, Caetano L, Antunes M, Brett (2010) Gut Microbiota in Health and Disease. Physiological Rev 90(3): 859-904.
- [50]** Umbrello G, Esposito S (2016) Microbiota and neurologic diseases: potential effects of probiotics. J Transl Med 14(1): 298.
- [51]** Kinoshita T, Abe RT, Hineno A, Tsunekawa K, Nakane S, et al. (2014) Peripheral sympathetic nerve dysfunction in adolescent Japanese girls following immunization with the human papillomavirus vaccine. Intern Med 53(19): 2185-2200.
- [52]** Young, RO, "Forget Everything Else! Look at THE VAER's NUMBERS on Injuries and Deaths!" <https://www.drrobertyoung.com/post/forget-everything-else-you've-heard-just-look-at-the-numbers5>

<https://www.drrobertyoung.com/post/transmission-electron-microscopy-reveals-graphene-oxide-in-cov-19-vaccines> źródło informacji to ten link.

22 08 2021r <https://www.drrobertyoung.com/post/transmission-electron-microscopy-reveals-graphene-oxide-in-cov-19-vaccines>



Robert O Young DSc, PhD, Naturopathic Practitioner · 3 days ago · 13 min read

⋮

Transmission Electron Microscopy Reveals Graphene Oxide in CoV-19 Vaccines

Updated: 14 hours ago

Phase Contrast Microscopy, Transmission Electron Microscopy and Energy-Dispersive X-ray Spectroscopy Reveal the Ingredients in the CoV-19 Vaccines!

In Figure 1 You Can See What A Cluster Bomb of Reduced Graphene Oxide (rGO) Looks Like in the Live Unstained Human Blood after an CoV-19 Inoculation and Causing Pathological Blood Coagulation![1][2]

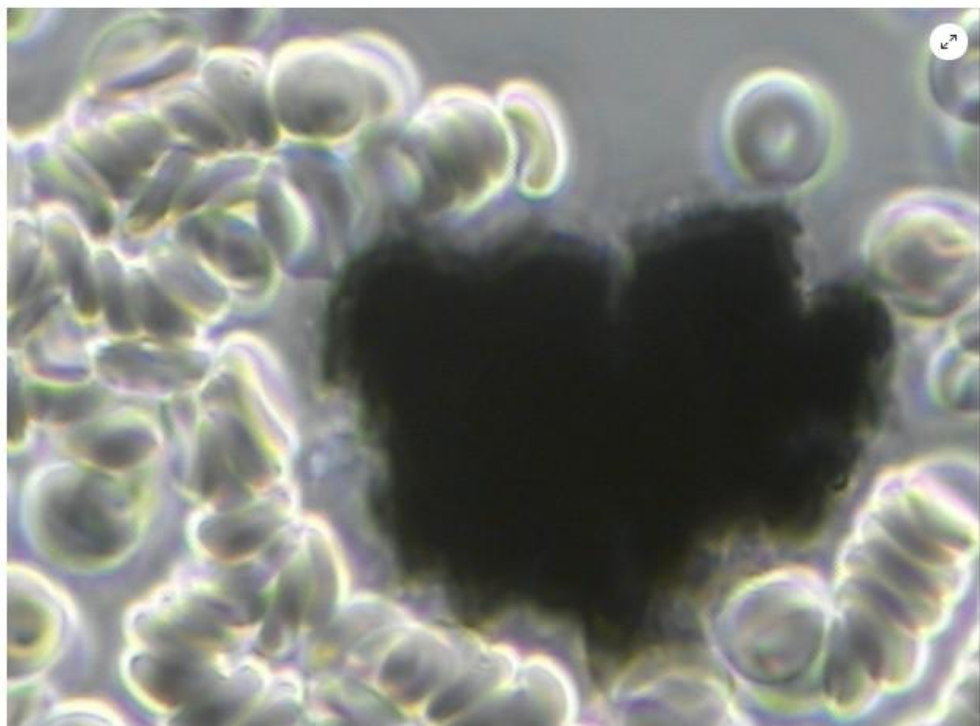


Figure 1 is a Micrograph of a Carbon Cluster of Reduced Graphene Oxide (rGO) Viewed in the Live Unstained Human Blood with Phase Contrast Microscopy at 1500x. Note that the Red Blood Cells are Clotting in and Around the rGO Crystal in a Condition Known as Rouleau! A French Word Which Means to Chain.

What Are the Non-Disclosed Ingredients Contained in CoV-19 So-Called Vaccines?

What Are the Non-Disclosed Ingredients Contained in CoV-19 So-Called Vaccines?

To answer this question an aqueous fraction of the Pfizer, Moderna, Astrazeneca and Janssen were taken from each vial and then viewed separately under phase contrast microscopy at 100x, 600x up to 1500x magnification showing reduced Graphene Oxide (rGO) particulates which were compared to micrographs of rGO from Choucair et al, 2009 for identification and verification.[3]

The Pfizer "Vaccine" Non-disclosed Ingredients

The micrographs in Figures 2 and 3 were obtained using 100X, 600X and 1500X pHase Contrast, Dark Field and Bright Field Optical Microscopy.[3]

On the left of each micrograph you will view micrographs obtained from the Pfizer vaccine aqueous fraction containing rGO.

On the right of each micrograph you will view a match from known sources containing rGO for anatomical validation.

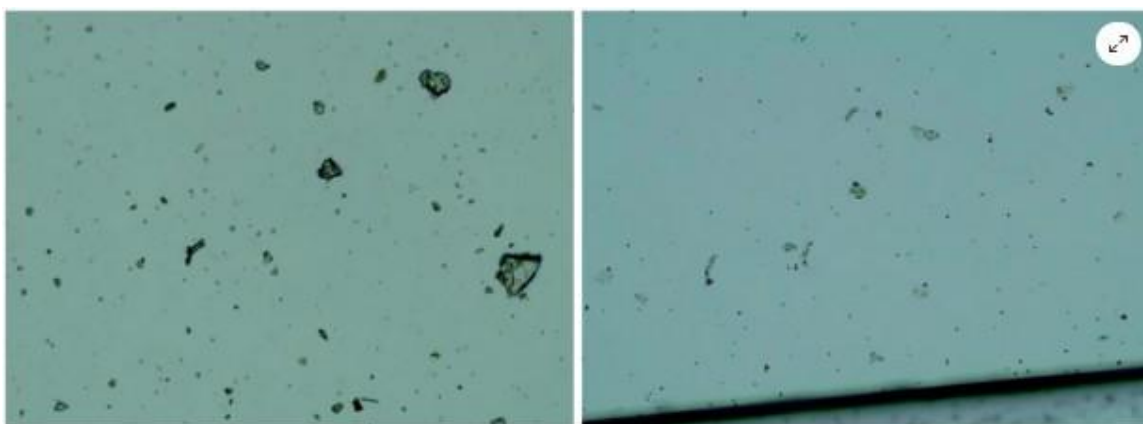


Figure 2 shows an aqueous fraction image from Pfizer vaccine sample (left) and from reduced graphene oxide (rGO) standard (right) (Sigma-777684). Optical microscopy, 100X

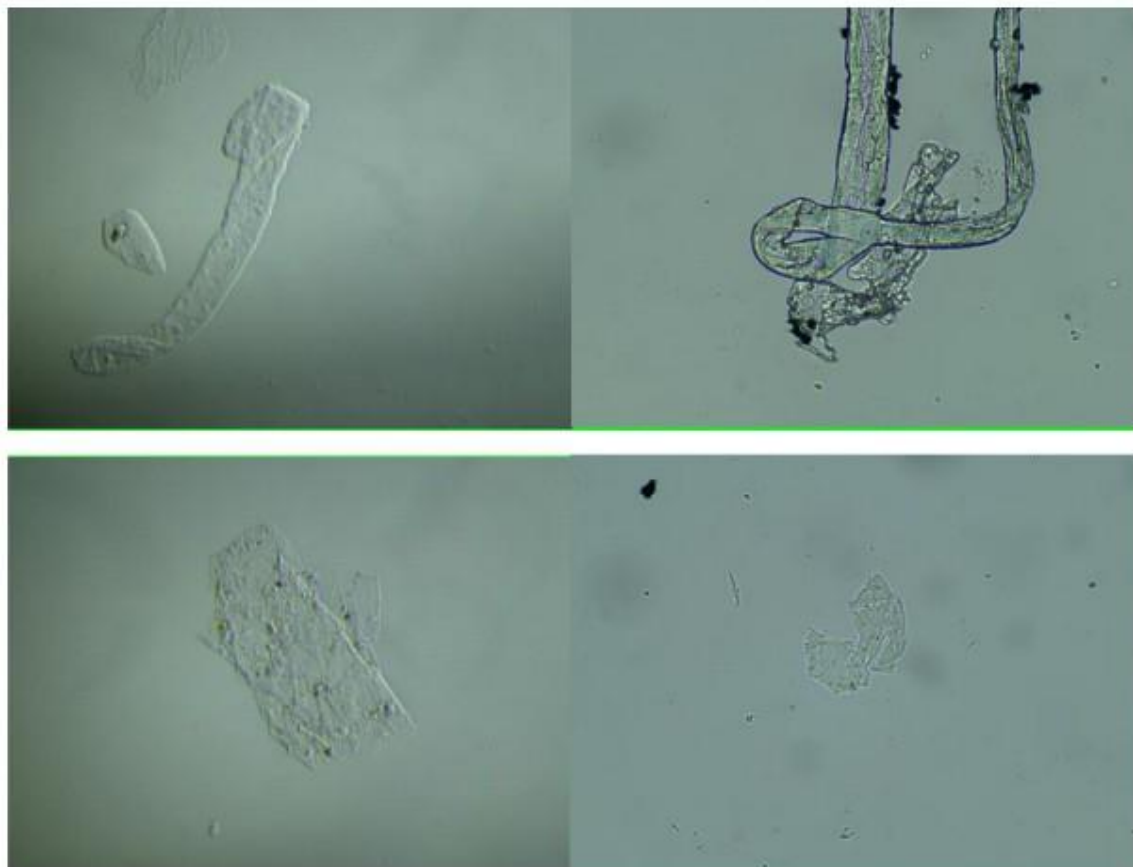


Figure 3 - Aqueous fraction images containing reduced graphene oxide from Pfizer vaccine sample (left) and sonicated reduced graphene oxide (rGO) standard (right) (Sigma-777684). Optical phase contrast microscopy, 600X

Using Transmission Electron Microscopy (TEM) we observed an intricate matrix or mesh of folded translucent flexible rGO sheets with a mixture of darker multilayer agglomerations and lighter colored of unfolded monolayers as seen in [Figure 4.](#) [3]

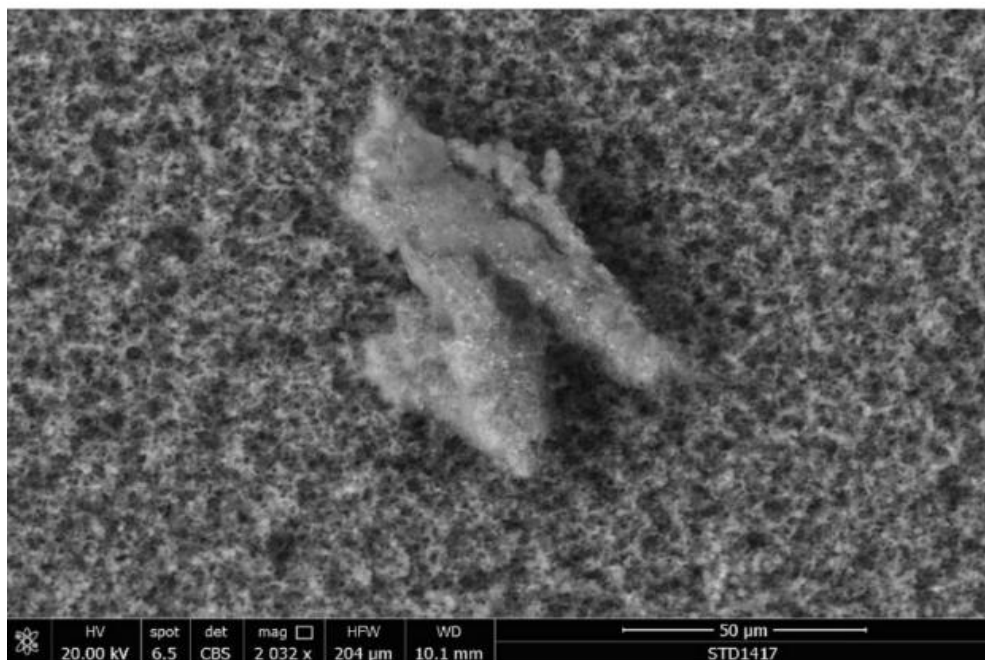


Figure 4 shows a cluster of graphene nanoparticles in a Pfizer vaccine. They appear to be aggregated.

The darker linear areas in Figure 4 appear to be local overlap of sheets and local arrangement of individual sheets in parallel to the electron beam.[4]

After the mesh, a high density of unidentified rounded and elliptical clear shapes appears, possibly corresponding to holes generated by mechanical forcing of the rGO mesh during treatment as seen in Figure 5.[4]

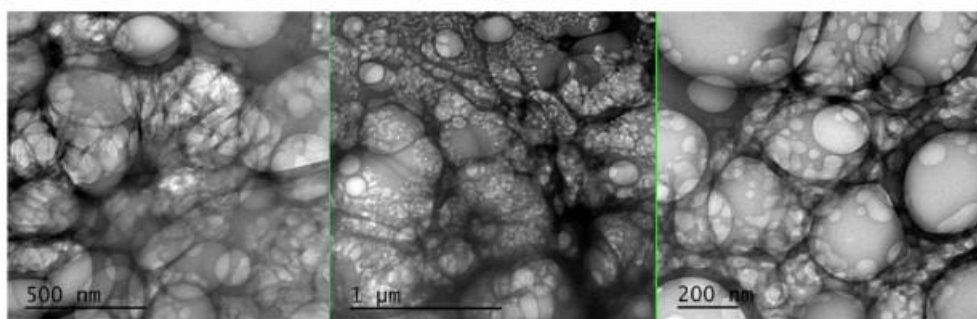


Figure 5 shows a TEM microscopy observation where particles of reduced graphene oxide in a Pfizer "vaccine" are present. The X-ray diffractometry reveals their nature of crystalline Carbon-based nanoparticles of rGO

Energy-Dispersive X-ray Spectroscopy Reveals rGO in Pfizer Vaccine[5][6][7]

The Pfizer vaccine liquid fraction was then analyzed for chemical and elemental content using Energy-dispersive X-ray spectroscopy (EDS) as seen in Figure 5. The EDS spectrum showed the presence of Carbon, Oxygen verifying the rGO and Sodium-Chloride since the sample shown in Figures 2, 3, 4 and 5 were diluted in saline solution.

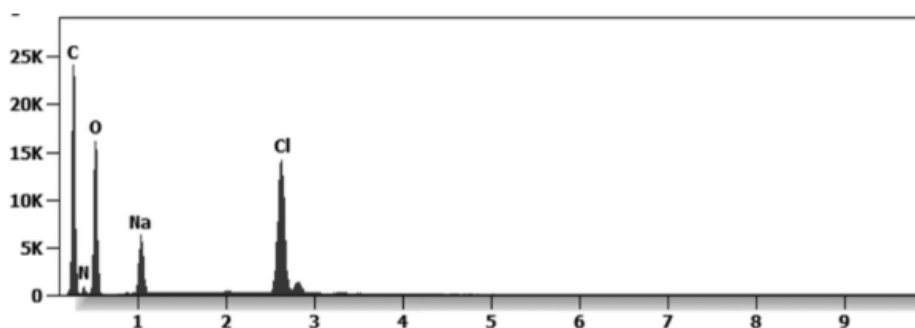


Figure 6 shows an EDS spectrum of a Pfizer "vaccine" under an ESEM microscopy coupled with an EDS x-ray microprobe (X axis = KeV, Y axis = Counts) identifying Carbon, Oxygen, Sodium and Chloride

The Quantification of mRNA in the Pfizer Vaccine

The quantification of RNA in the Pfizer sample was carried out with conventional protocols (Fisher).

According to NanoDropTM 2000 spectrophotometer calibration check specific software (Thermofisher), the UV absorption spectrum of total aqueous fraction was correlated to 747 ng/ul of unknown absorbing substances.

However, after RNA extraction with commercial kit (Thermofisher), quantification with RNA specific Qbit fluorescence probe (Thermofisher) showed that only 61 ug/ul could be related to the presence of RNA. The spectrum was compatible with the peak of rGO at 270nm.

According to microscopic images presented here, most of this absorbance might be due to graphene-like sheets, abundant in the fluids suspension in the sample.

The conclusions are further supported by high fluorescence from the sample with maximum at 340 nm, in accordance with peak values for rGO. It must be reminded that RNA does not show spontaneous fluorescence under UV exposure.

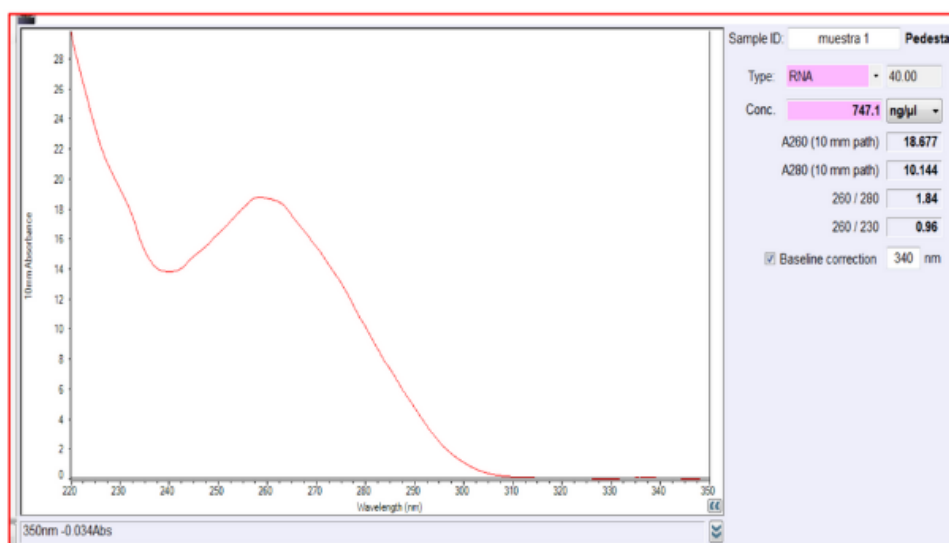


Figure 7 - UV spectrum of aqueous fraction of Pfizer vaccine sample.[1][2][3][4][5]

Ultra Violet Fluorescence Testing of the Pfizer Aqueous Fraction for Reduced Graphene Oxide (rGO)[5]

Ultra Violet absorption and fluorescence spectra were obtained with Cytation 5 Cell Imaging Multi-Mode Reader Spectrophotometer (BioteK). UV absorbance spectrum confirmed a maximum peak at 270nm, compatible with presence of rGO particulate.

UV fluorescence maximum at 340 nm also suggests presence of significant amounts of rGO in the sample (Bano et al, 2019).

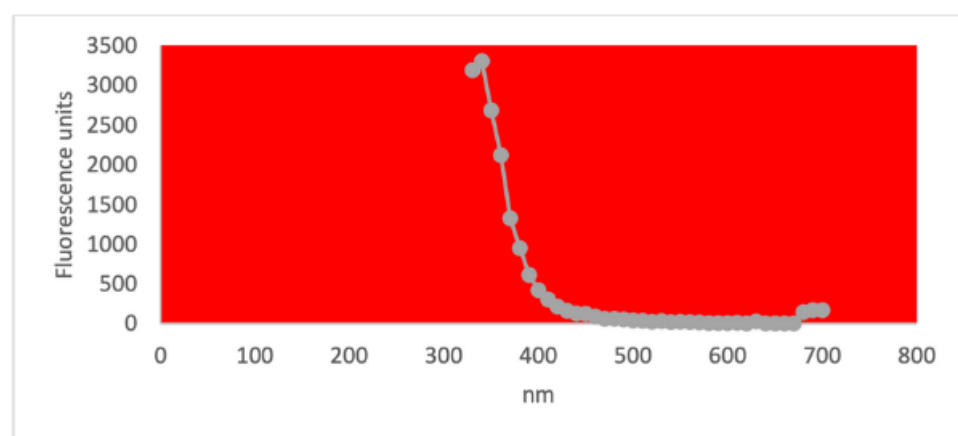


Figure 8 - UV absorption and fluorescence spectra were obtained with Cytation 5 Cell Imaging Multi-Mode Reader Spectrophotometer (BioteK). UV absorbance spectrum confirmed a maximum peak at 270 nm, compatible with presence of rGO. UV fluorescence maximum at 340 nm also suggests presence of significant amounts of rGO in the sample (Bano et al, 2019).

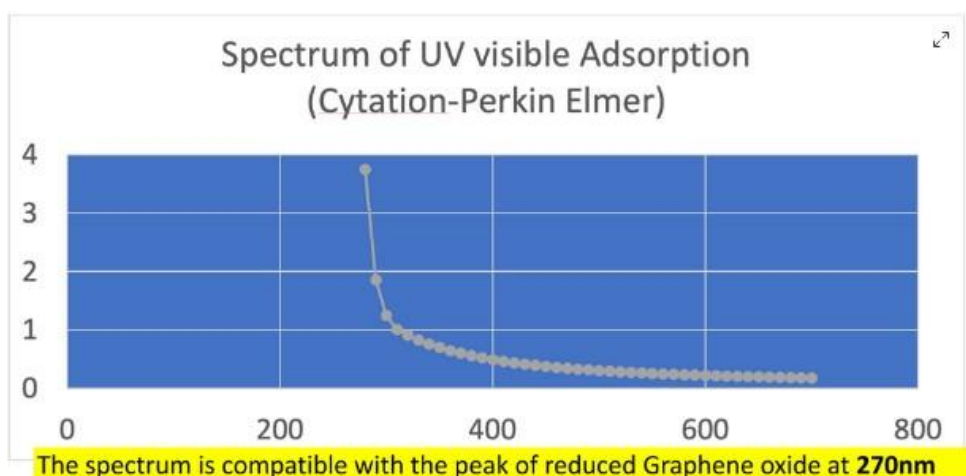


Figure 9 - The spectroscopy UV analysis showed an adsorption due to the presence of reduced graphene oxide, which is confirmed by observation under ultraviolet-visible microscopy.

Figures 10 and 11 below shows a micrograph of different micro and nano particulates which have been identified in the Pfizer, Moderna, AstraZeneca and Janssen, so-called "vaccines" and analyzed under an Environmental Scanning Electron Microscope coupled with an x-ray microprobe of an Energy Dispersive System that reveals the chemical nature of the observed micro and nano particulates viewed.[5][6][7]

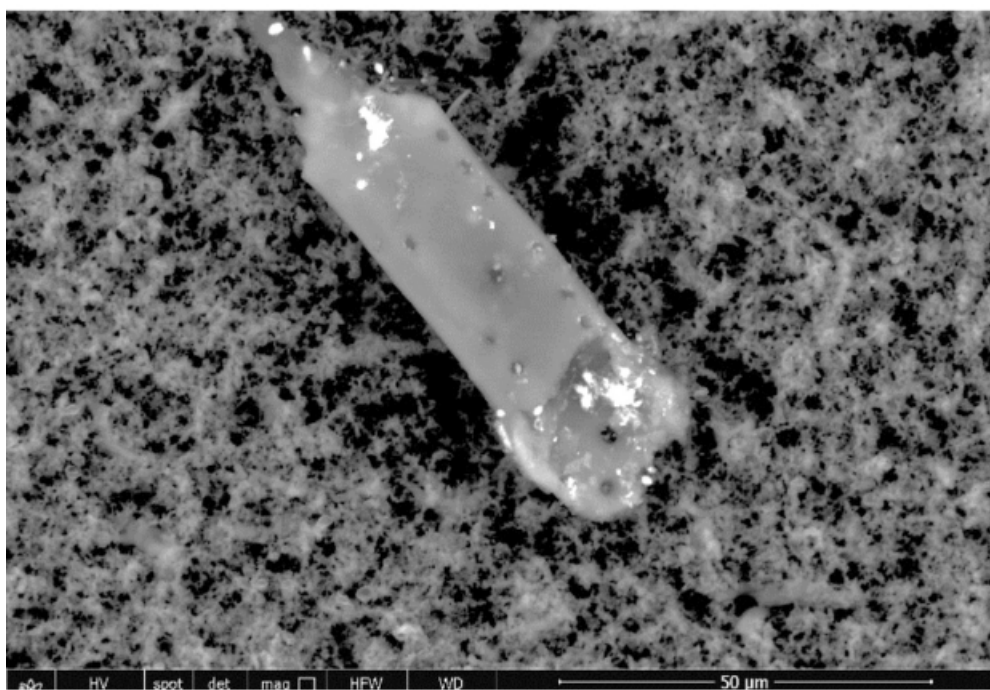


Figure 10 shows sharp micron debris of 20 μm in length identified in the Pfizer so-called "vaccine" containing Carbon, Oxygen Chromium, Sulphur, Aluminum, Chloride, Nitrogen.

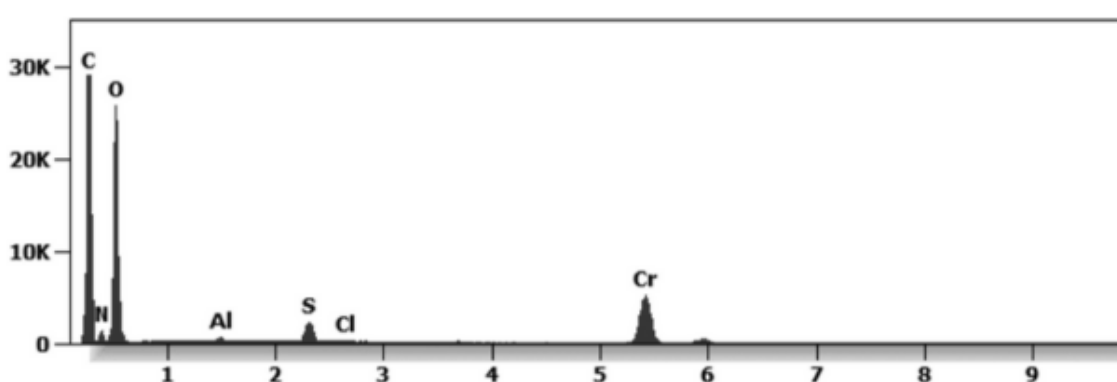


Figure 11 shows a 20 micron in length particulate identified in the so-called Pfizer "vaccine". It is composed of carbon, oxygen chromium, sulphur, aluminum, chloride and nitrogen.

Figures 12 and 13 below shows a micrograph of different micro and nano particulates which have been identified in the Pfizer, Moderna, AstraZeneca and Janssen, so-called "vaccines" and analyzed under an Environmental Scanning Electron Microscope coupled with an x-ray microprobe of an Energy Dispersive System that reveals the chemical nature of the observed micro and nano particulates.

Are There Parasites in the Pfizer "Vaccines"?

A 50 micron elongated body, as seen in Figure 12 is a sharp mysterious presence in the Pfizer vaccine. It appears and is identified anatomically as a *Trypanosoma cruzi* parasite of which several variants are lethal and is one of many causes of acquired immune deficiency syndrome or AIDS. [Atlas of Human Parasitology, 4th Edition, Lawrence Ash and Thomas Orithel, pages 174 to 178][8]

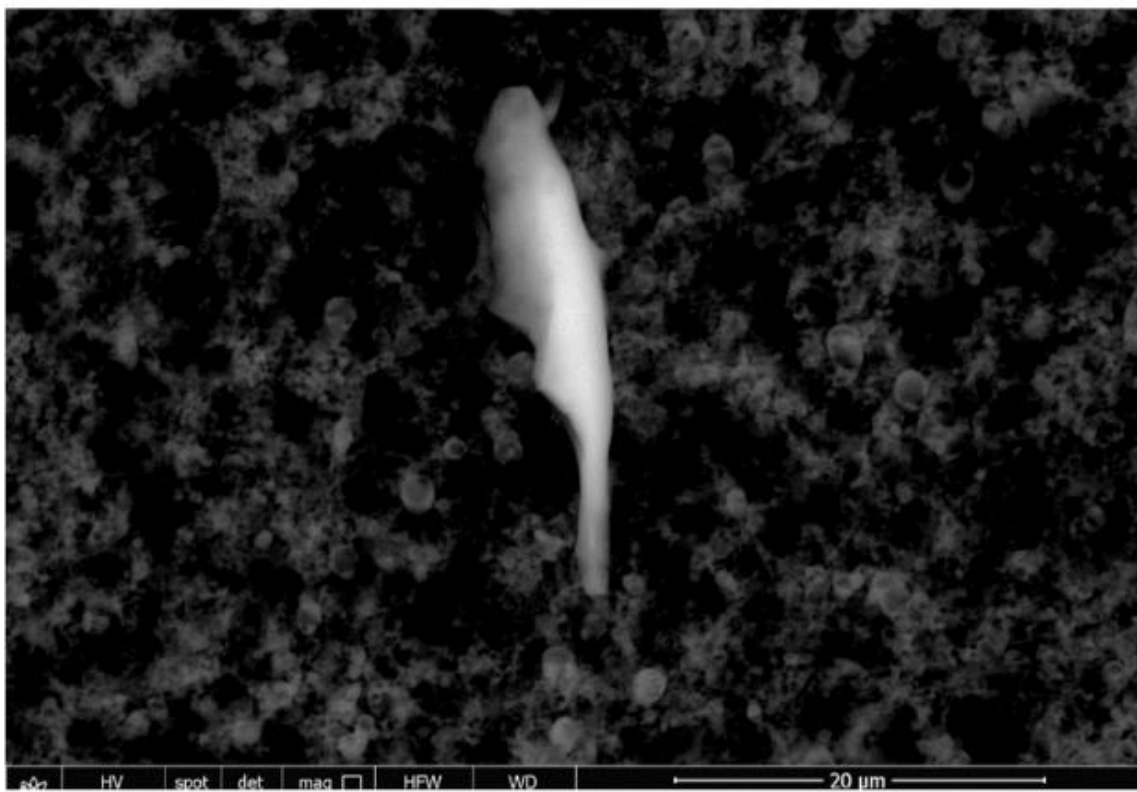


Figure 12 shows a *Trypanosoma* parasite approximately 20 microns in length found in the so-called Pfizer "vaccine". It is composed of carbon, oxygen, chromium, sulphur, aluminum, chloride and nitrogen.

Figure 13 identifies a composition of nano particulates including carbon, oxygen chromium, sulphur, aluminum, chloride and nitrogen also found in the CoV-19 "vaccines."

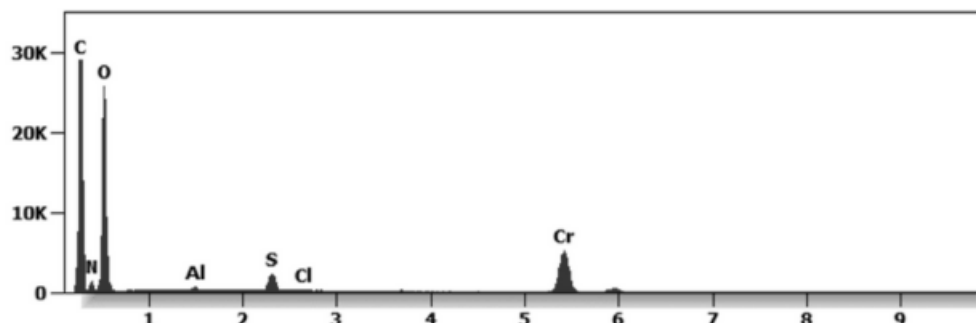


Figure 13

Figures 14 and 15 below show a micrograph of different micro and nano particulates which have been identified and analyzed under an Environmental Scanning Electron Microscope coupled with an x-ray microprobe of an Energy Dispersive System that reveals the chemical nature of the observed micro and nano particulates.

The white 2-micron-long particulate is composed of bismuth, carbon, oxygen, aluminum, sodium, copper and nitrogen.

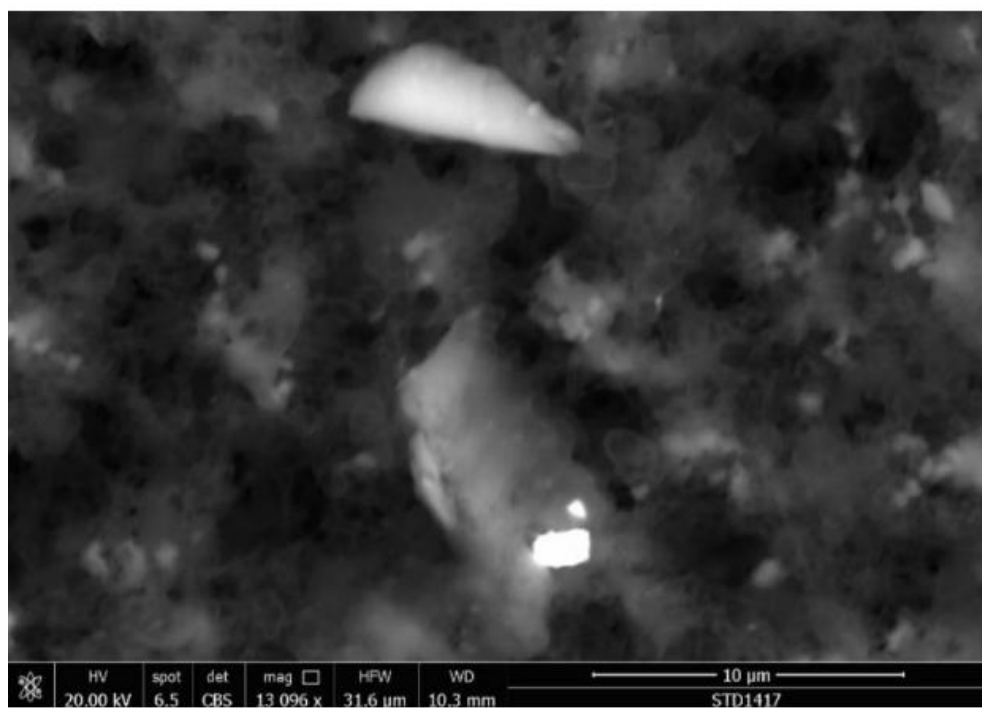


Figure 14 shows nano and micron particulates identified in the Pfizer "vaccine". The white 2 micron long particulate is composed of bismuth, carbon, oxygen, aluminum, sodium, copper and nitrogen.

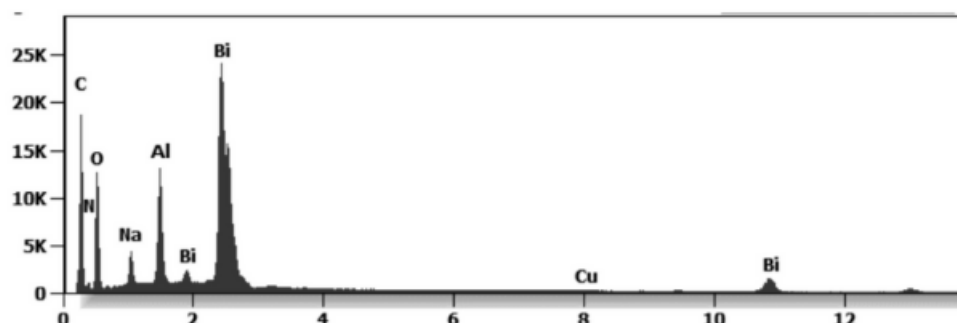


Figure 15 shows that the white 2 micron particulate found in the so-called Pfizer 'vaccine' is composed of bismuth, carbon, oxygen, aluminum, sodium, copper and nitrogen.

Figures 16 and 17 show the identification of organic carbon, oxygen and nitrogen particulates with an aggregate of embedded nanoparticles including bismuth, titanium, vanadium, iron, copper, silicon and aluminum which were all found in the so-called Pfizer "vaccine."

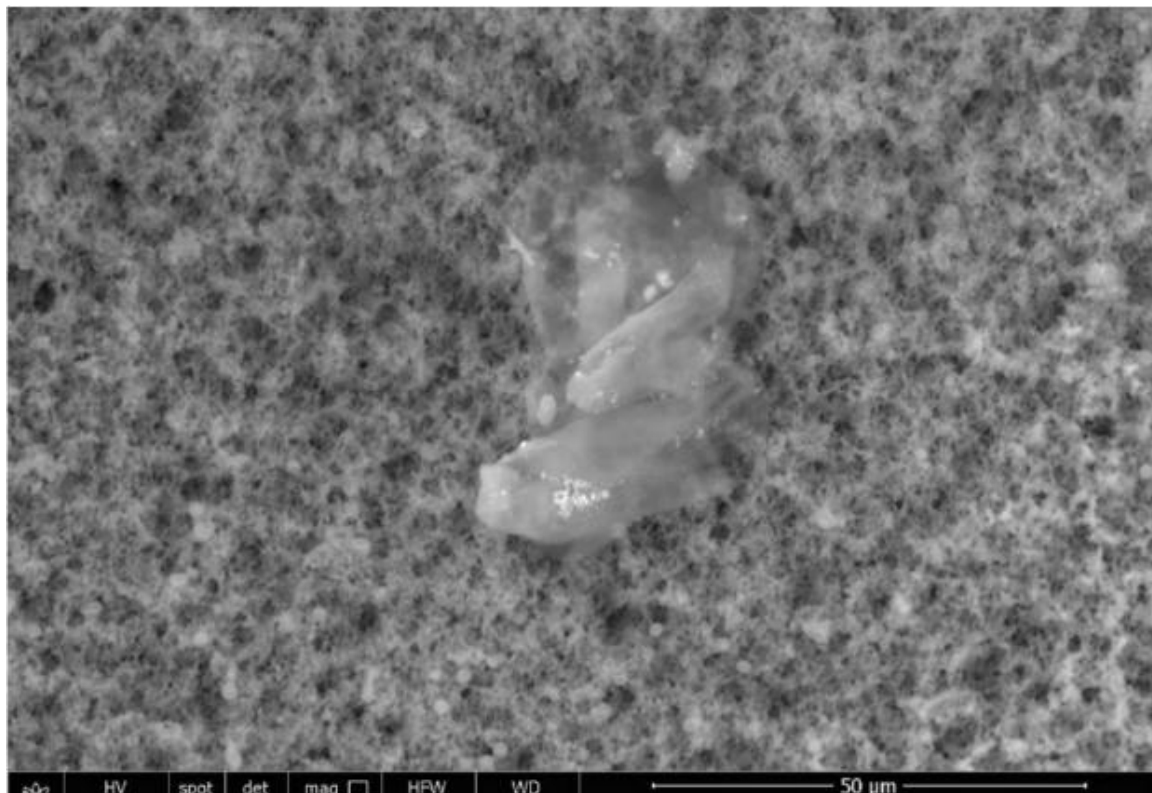


Figure 16 - shows an organic (Carbon-Oxygen-Nitrogen) aggregate with embedded nanoparticles of bismuth, titanium, vanadium, iron, copper, silicon, aluminum embedded in Pfizer "vaccine!"

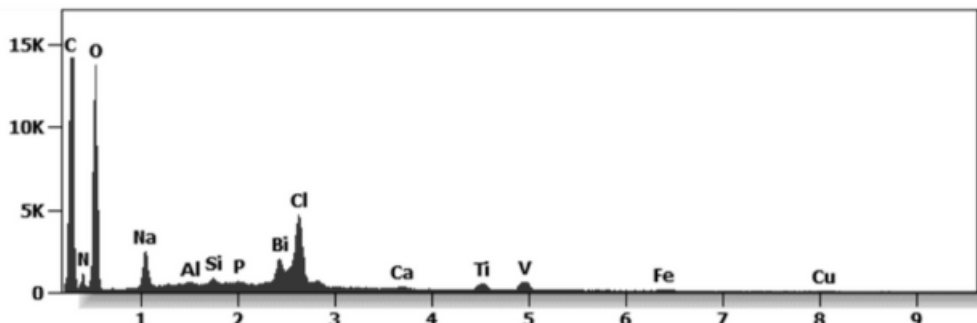


Figure 17 - shows an organic (Carbon-Oxygen-Nitrogen) aggregate with embedded nanoparticles of bismuth, titanium, vanadium, iron, copper, silicon, aluminum embedded in Pfizer "vaccine!"

The Astrazeneca "Vaccine" Non-disclosed Ingredients

Figures 18 and 19 show an engineered aggregate of iron, chromium and nickel also known as stainless steel of micro and nano particles embedded and identified in the Astrazeneca "vaccine" viewed under Transmission Electron Microscopy and quantified with an x-ray microprobe of an Energy Dispersive System that reveals the chemical nature of the observed micro and nano particulates.

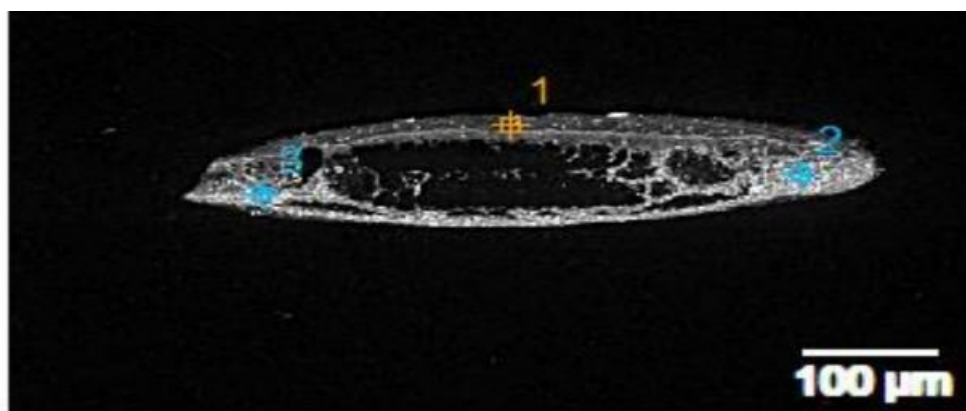


Figure 18 - Engineered aggregate of iron, chromium and nickel also known as stainless steel.

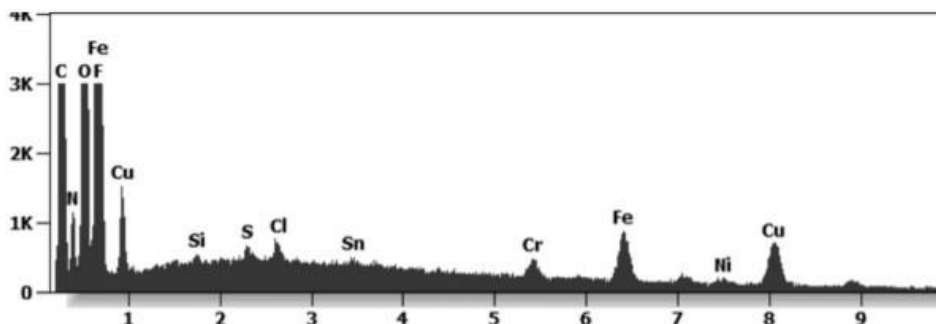


Figure 19 shows the quantified nano particulates in the Astrazeneca 'vaccine' with an x-ray microprobe of an Energy Dispersive System that reveals the chemical nature of the observed micro and nano particulates.

Using the XRF (X-ray fluorescence) instrument was used to evaluate the adjuvants in the AstraZeneca "vaccine", which identified the following molecules of histidine, sucrose, Polyethylene glycol (PEG) or anti-freeze and ethylene alcohol. The results of this test can be seen in Figure 19.[9]

The injection of PEG and Ethylene alcohol are both known as carcinogenic and genocytotoxic.[9] PEG was the only adjuvant declared on the data sheet listing the ingredients of the AstraZeneca "vaccine".

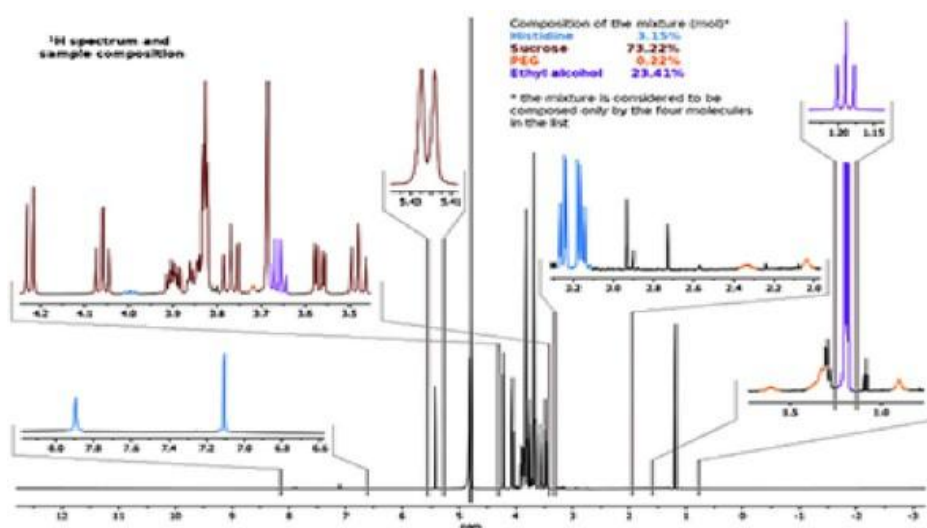


Figure 19 Identifies the Spectrum of AstraZeneca Vaccine Adjuvants. Different colors are used for the four molecules identified by means of reference spectra. Relative concentration is calculated on integrals of reference signals for molecules in a quantitative spectrum acquired with a duty cycle of 5 seconds with the longest calculated T1 was 5sec.

The Janssen "Vaccine" Non-Disclosed Ingredients

Figures 20 and 21 shows an organic-inorganic aggregate identified in the Janssen "vaccine". The particles are composed of stainless steel and are glued together with a "Carbon-based glue" of reduced graphene oxide.[10] **This aggregate is highly magnetic** and can trigger pathological blood coagulation and "The Corona Effect" or "The Spike Protein Effect" creation from the degeneration of the cell membrane due to interactions with other dipoles.[10] You can view these biological reactions or cellular transformations in the live blood under pHase Contrast and Dark Field Microscopy in Figures 24, 25 and 26.[1][11]

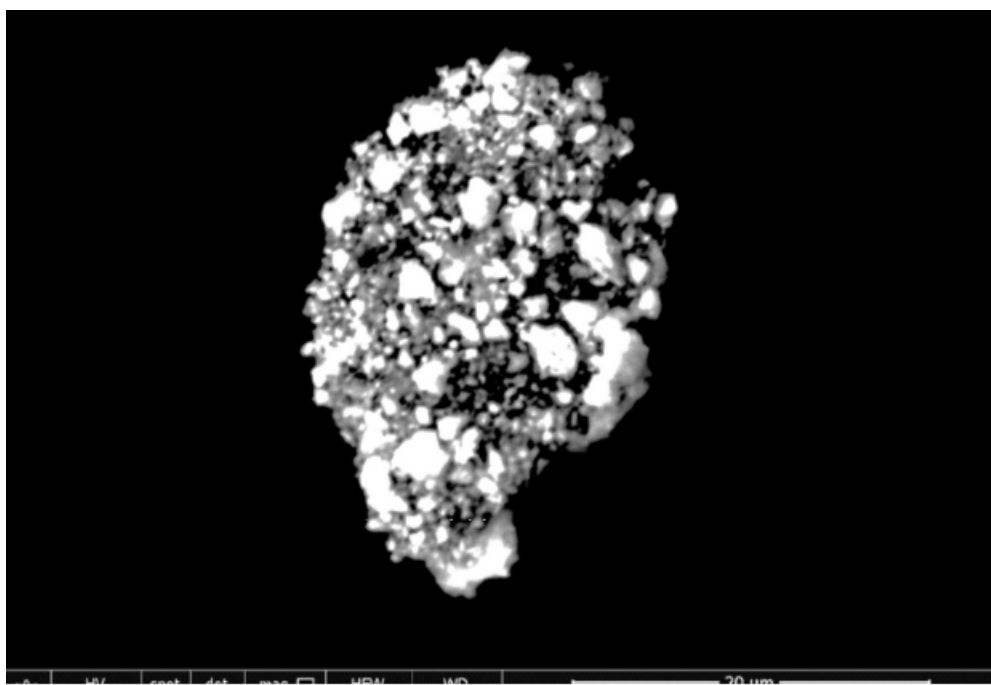


Figure 22 A Stainless Steel Aggregation of Carbon , Oxygen, Iron and Nickel Held Together With Graphene Oxide

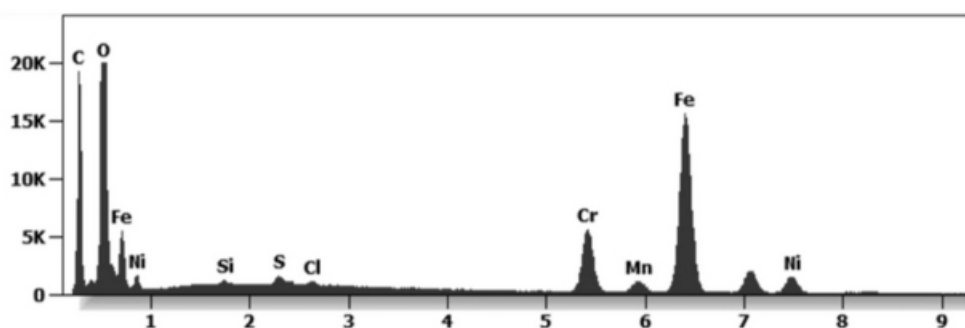


Figure 23

The Corona Effect and Spike Protein Effect

The Endogenously Created "Corona Effect" and "Spike Protein" ARE Caused by Chemical and Radiation Poisoning from Reduced Graphene Oxide and Microwave Radiation!
[11]

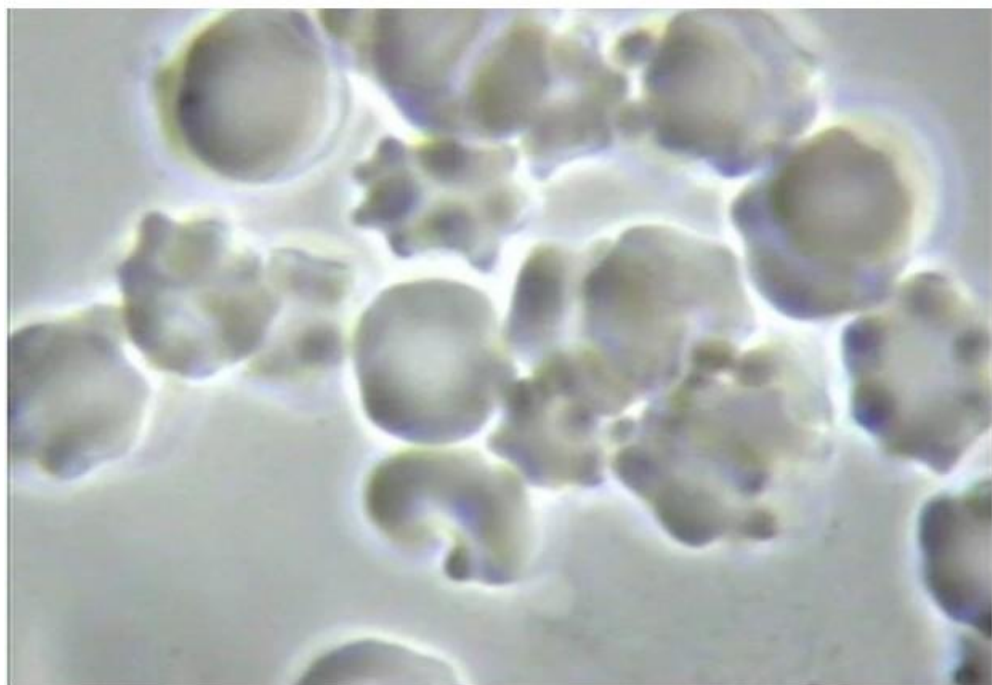


Figure 24 'The Corona Effect' and the Endogenous Creation of Exosomes Due to Chemical and Radiation Poisoning of the Vascular and the Interstitial fluids of the Interstitium

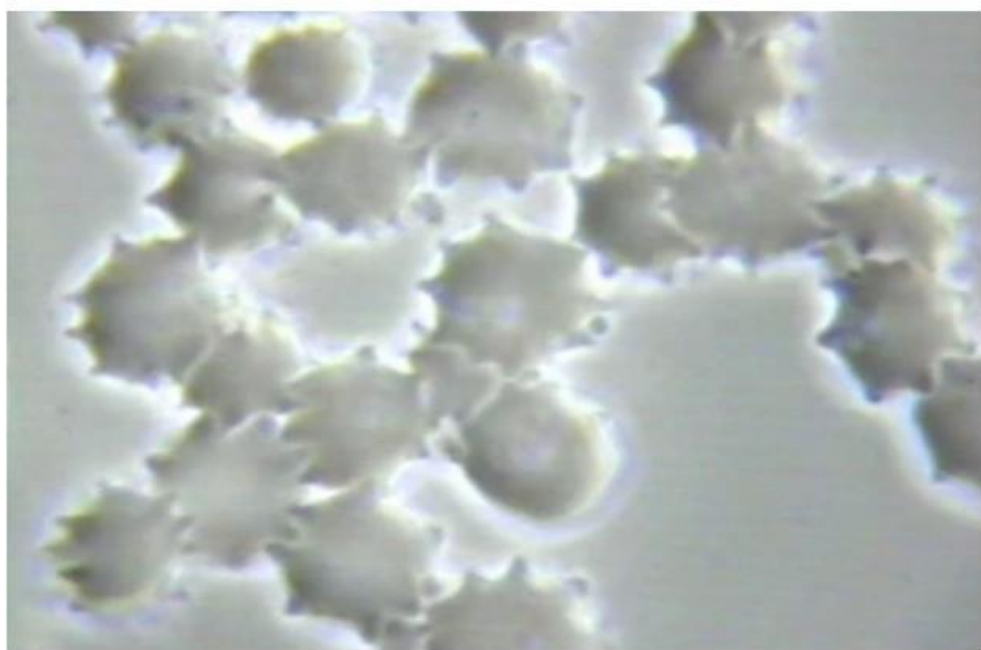


Figure 25 Shows 'The Corona Effect' and the the Endogenous Birth of S1 Protein Spikes Caused by Radiation and Chemical Poisoning or What I Call The 'Protein Spiking Effect'



Figure 26 This Micrograph Shows the Endogenous Creation of the 'Spike Protein' as an Outfection and NOT an Infection!

Figures 24 and 25 above show 'The CORONA EFFECT' on the red blood cells with Figure 26 showing 'The SPIKED PROTEIN EFFECT' both caused by decompensated acidosis of the interstitial and then vascular fluids from an acidic lifestyle and specifically, exposure to toxic pulsating electro-magnetic fields at 2.4gHz or higher, chemical poisoning from the food and water ingested, toxic acidic air pollution, chem-trails and to top-it-all-off a nano particulate chemical laden CoV - 19 inoculation! Please check your feelings and false beliefs at the door before YOU prematurely cause YOURSELF harm! [11]

The Moderna "Vaccine" Non-Disclosed Ingredients

Figure 26 and 27 identified a mixed entity of organic and inorganic matter contained in the Moderna "vaccine." Transmission Electron Microscopy and quantified with an x-ray microprobe of an Energy Dispersive System revealed the chemical nature of the observed micro and nano particulates.

The so-called Moderna "vaccine" is a carbon-based Reduced Graphene Oxide substrate where some nanoparticles are embedded. The nanoparticles are composed of carbon, nitrogen, oxygen, aluminum, copper, iron and chlorine.[12]

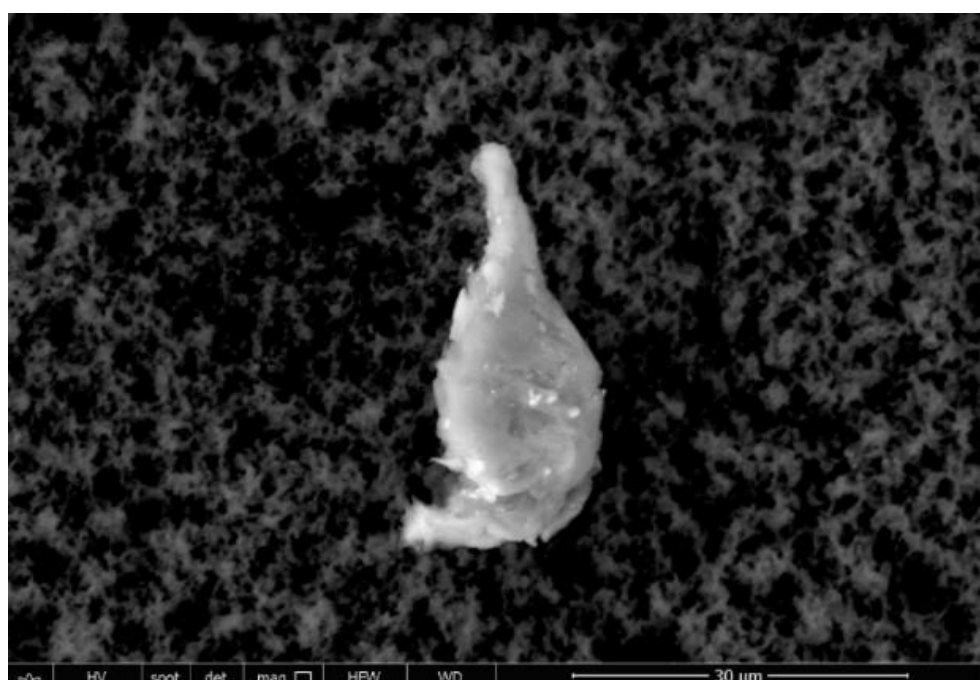


Figure 26. Transmission Electron Microscopy Reveals a Graphene Oxide Composite of Embedded Organic and Non-Organic Matter

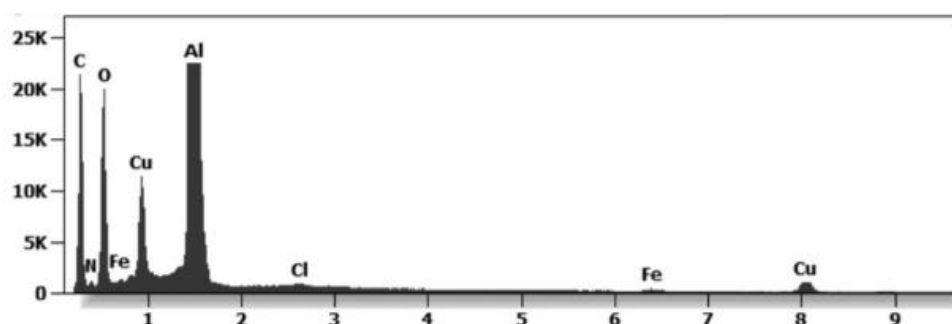


Figure 27 Reveals Embedded Cytotoxic Nano Particulates

Figures 27 and 28 shows an analysis which was also performed under Transmission Electron Microscopy and quantified with an x-ray microprobe of an Energy Dispersive System and revealed the chemical nature of the observed micro and nano particulates. Many foreign bodies were identified with a spherical morphology with some bubble-shaped cavities.

Figure 29 shows they are composed of carbon, nitrogen, oxygen, silicon, lead, cadmium, and selenium. This highly toxic nano particulate composition are quantum dots of cadmium selenide which are cytotoxic and genotoxic.[13] [14]

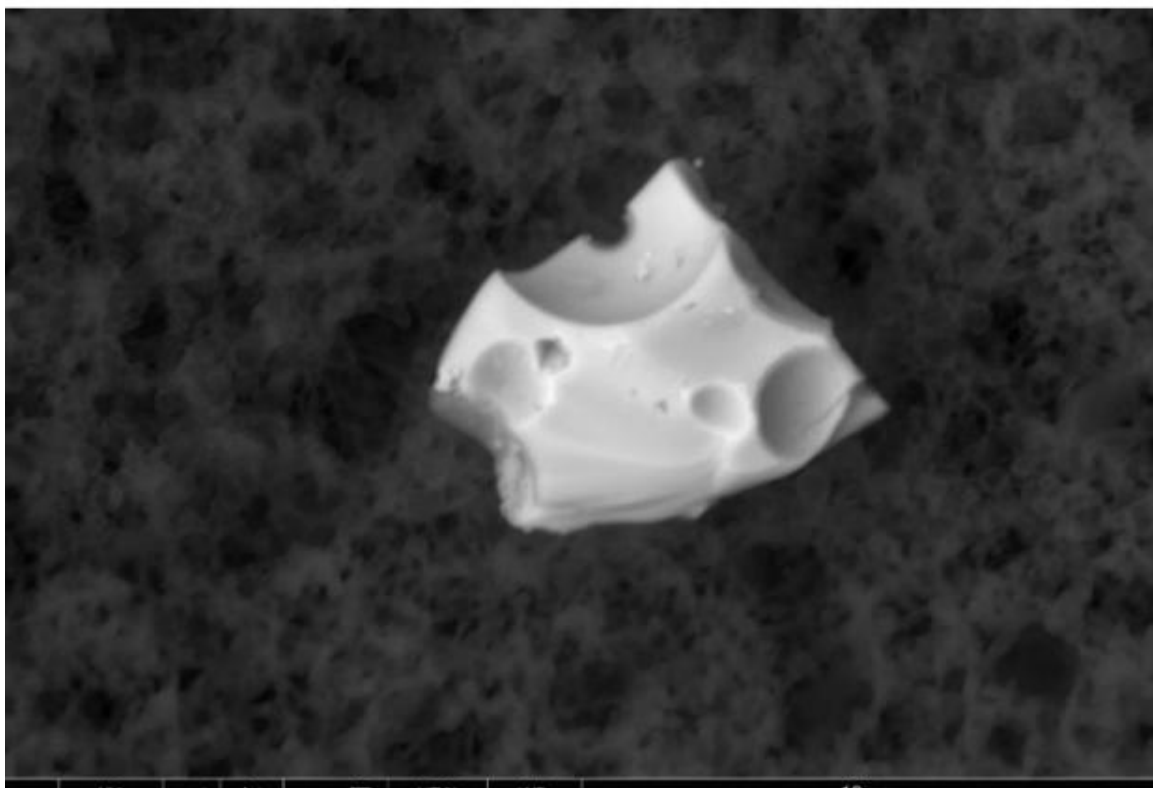


Figure 27 Reveals the Nano Dots in the Graphene Oxide Found in the Moderna 'Vaccine'

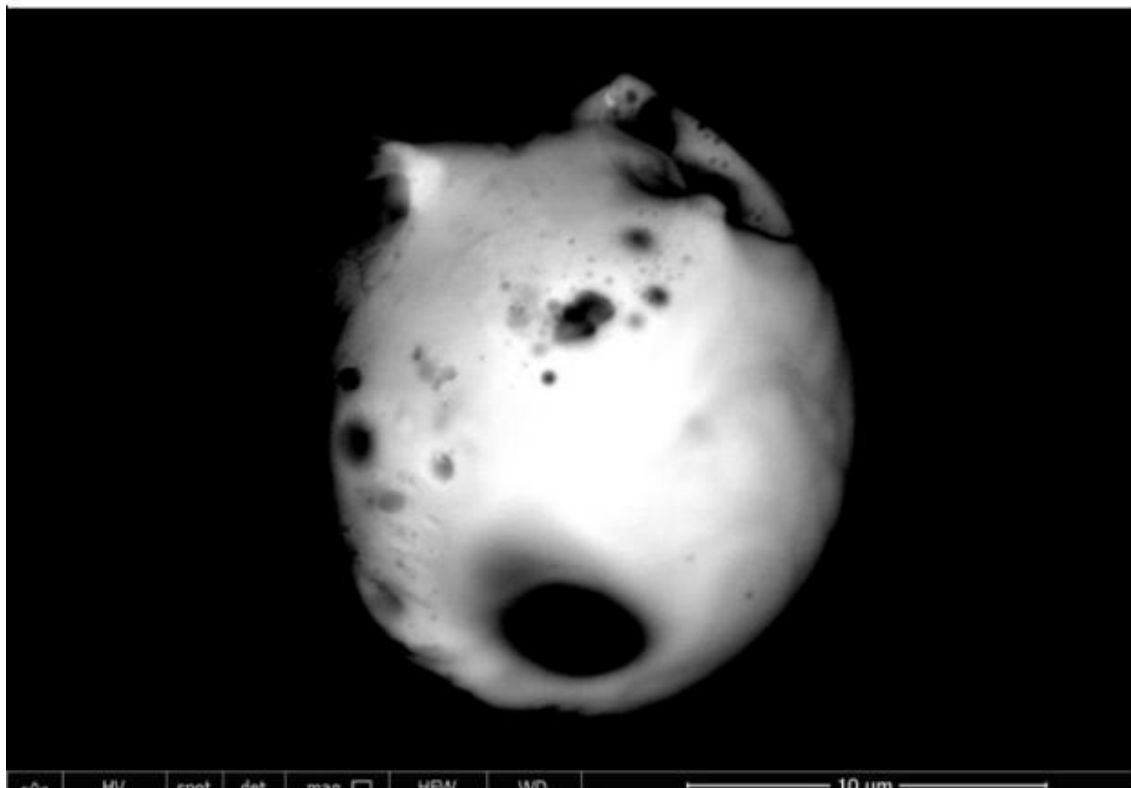


Figure 28 Reveals the Nano Dots in the Graphene Oxide Found in the Moderna 'Vaccine'

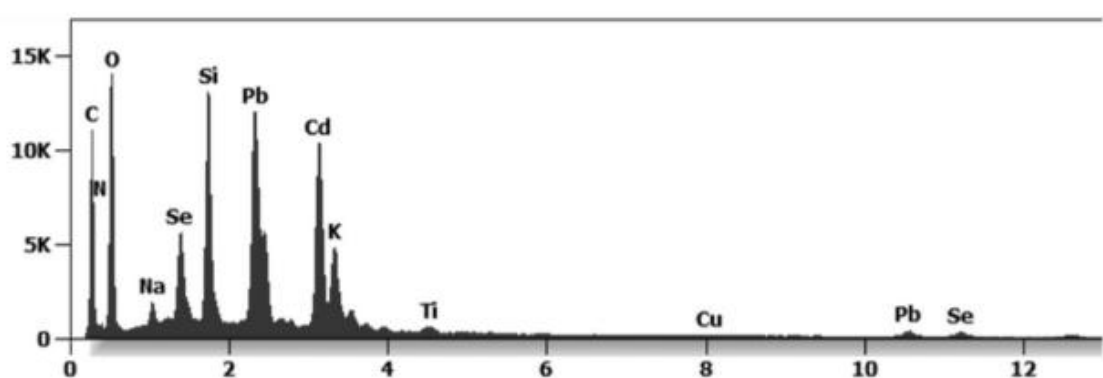


Figure 29 Reveals the Cytotoxic and Genotoxic Composite of Nano Particulates in Graphene Oxide Found in the Moderna 'Vaccine'

Figures 30 and 31 further analysis of the so-called Moderna "vaccine" showed a 100-micron symplast of reduced graphene oxide nano particulate composite. The rGO is composed of carbon and oxygen with contamination of nano particulates of nitrogen, silicon, phosphorus and chlorine Chlorine.[15]

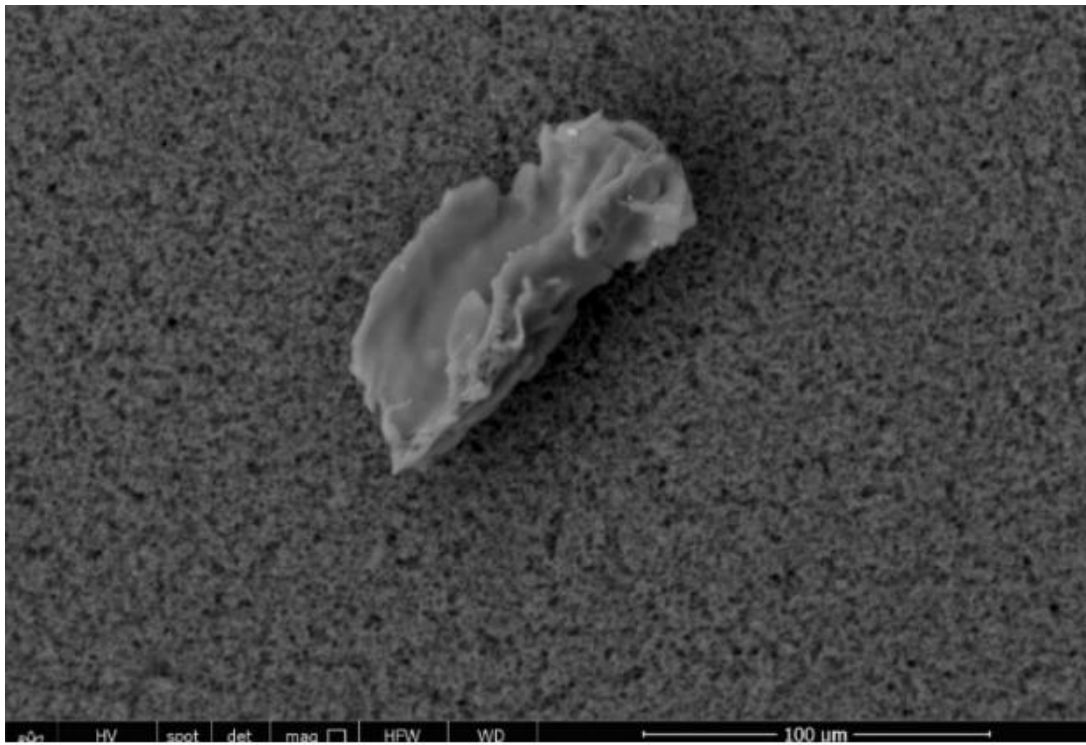


Figure 3D Transmission Electron Microscopy Reveals a Large 100 micron Symplast Composite of Reduced Graphene Oxide

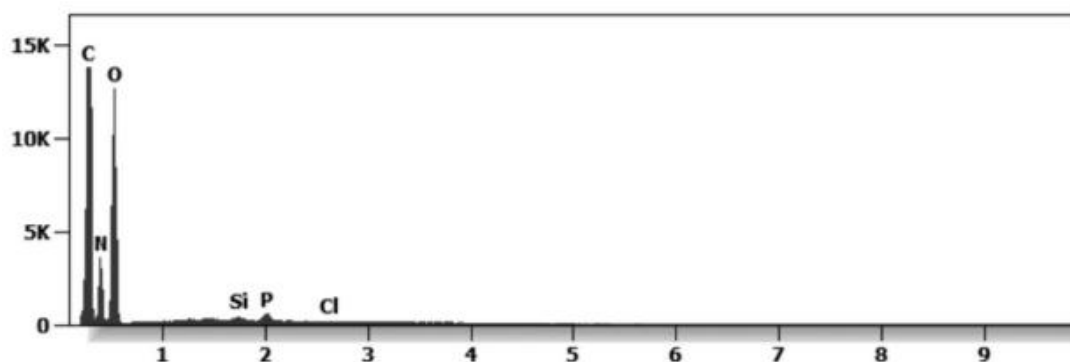


Figure 31 Reveals the Nano Particulate Complex Contained in the Moderna 'Vaccine'

Figures 32 and 33 show carbon-based reduced graphene oxide entities in the Moderna “vaccine” mixed with aggregates filled with Aluminium silicate nanoparticulates.
[16]

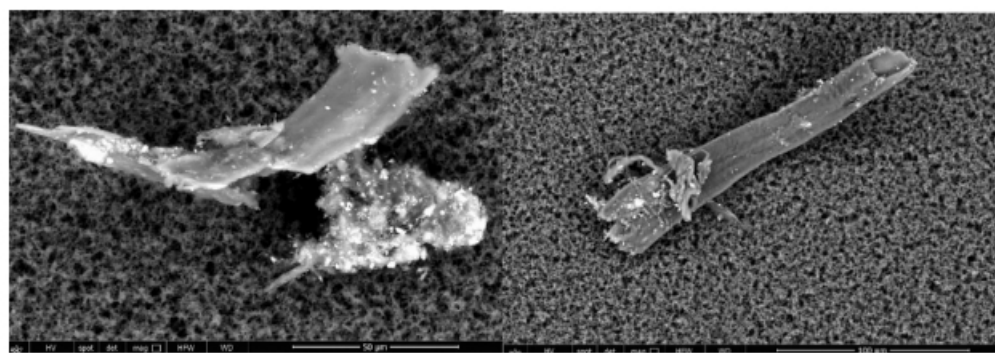


Figure 32 Reveals a Complex of Graphene Oxide and Aluminium Silicate Using Transmission Electron Microscopy

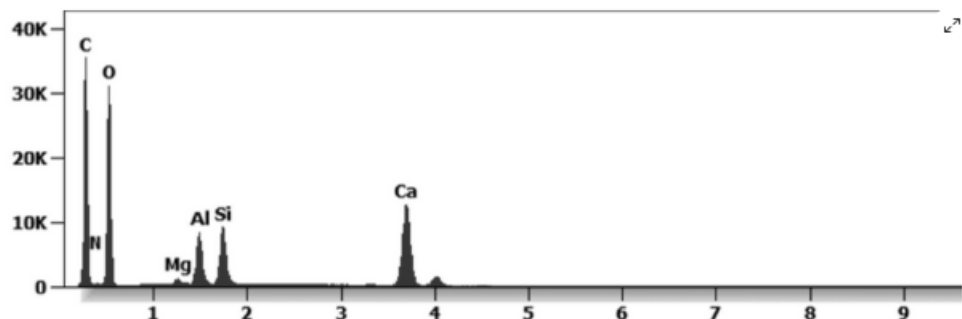


Figure 33 Reveals the Nano Elements of Graphene Oxide and Aluminum Silicate Contained in the Moderna 'Vaccine'

Discussion

The Pfizer, Moderna, Astrazeneca and Janssen are NOT "vaccines" but complexed Graphene Oxide nanoparticulate aggregates of varying nano elements attached to the genetically modified nucleic acids of mRNA as viewed and described above, and are highly magneticotoxic, cytotoxic and genotoxic to plant, animal and human cell membranes and their genetics which may lead to serious injuries or death.[17][18] through [52]

The so-called "experts" are telling YOU that CoV - 19 vaccines are the ONLY way to stop the spread of CoV-19...

That they're safe — despite so much documented evidence to the contrary...

That they're effective — even though millions of "double-jabbed" people are getting very sick, spreading CoV - 19, and dying...[52]

That YOU MUST get at LEAST two shots PLUS "boosters" to live "normal lives"...

And soon, they'll be telling YOU that YOU have no choice but to comply with ALL their MANdates!

Remember ...

DON'T LET ANYONE TAKE AWAY YOUR HEALTH FREEDOM!

It is YOUR Body, YOUR Life and YOUR Choice!

Knowledge is power. And it's the key to understanding why the experimental CoV -19 vaccines are so dangerous — despite the corporate media's official narrative that suppresses and censors anyone who dares to speak out.

You are in control of your own health. Don't fall victim to global governments and bureaucrats that are pushing everyone to get vaccinated. Billionaire "philanthropist" Bill Gates and billionaire Big Tech activists think they know what's best for you and your family.

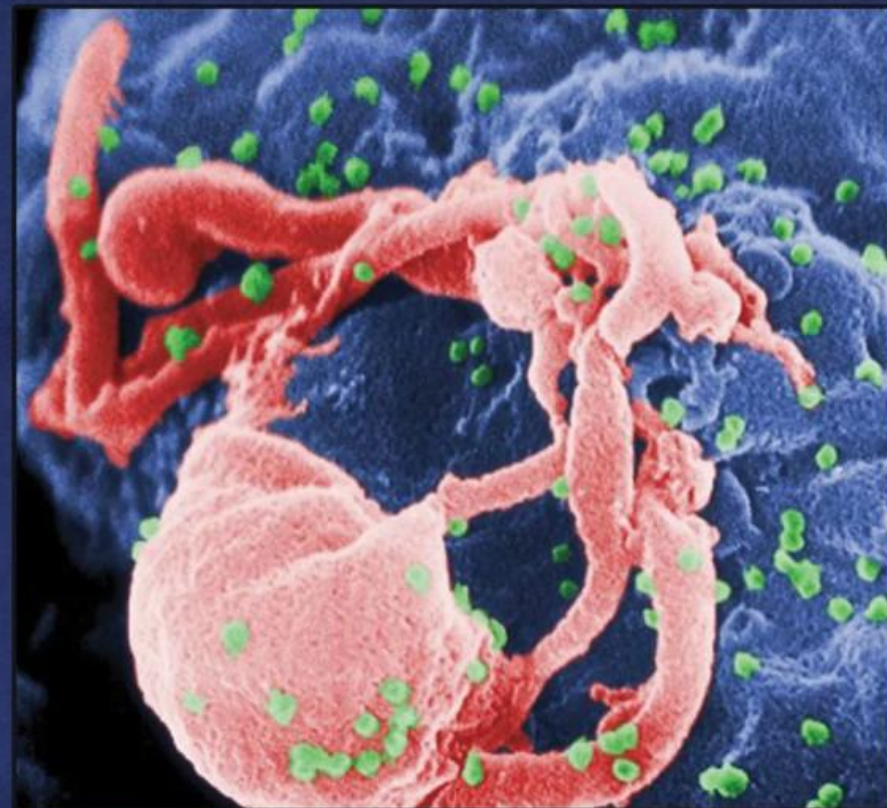
You must be free to decide what's right for you. Do NOT let governments and employers force you into getting vaxxed "for your own good".

And never let the cancel culture make you too afraid to stand up for your rights!

To learn more about viruses, vaccines and the viral theory please read and study, A Second Thought About Viruses, Vaccines and the HIV AIDS Hypothesis. You can order this book at:

<https://www.phmiracleproducts.com/collections/books-audio-video/products/second-thoughts-about-viruses-vaccines-and-the-hiv-aids-hypothesis-booklet>

Second Thoughts About Viruses, Vaccines, and the HIVAIDS Hypothesis



Robert O. Young MSc, DSc, PhD

Read and Learn More About Viruses, Vaccines and the Viral Theory in the Following Scientific Articles!



1. The Epidemic Curves of the Most Vaccinated Countries

<https://www.drrobertyoung.com/post/world-health-organization-who-publishes-epidemic-curves-of-the-most-vaccinated-countries>

2. Sweden Is Following the Biological Science NOT the Political Science

<https://www.drrobertyoung.com/post/sweden-is-following-the-biological-science-not-the-political-science>

3. What is Happening in India

<https://www.drrobertyoung.com/post/what-happened-in-india>

4. Surviving the Plague of Corruption

<https://www.drrobertyoung.com/post/surviving-the-plague-of-corruption>

5. Dismantling the Viral Theory

<https://www.drrobertyoung.com/post/dismantling-the-viral-theory>

6. Corona on Trial -

<https://www.drrobertyoung.com/post/corona-on-trial-explosive-and-exclusive>

7. The Havana Cuba Syndrome Caused by Directed Pulsating EMF Microwaves

<https://www.drrobertyoung.com/post/the-havana-syndrome-pulsating-microwaves>

8. CDC NOW Admits NO 'Gold Standard' for the Isolation for ANY Virus! -

<https://www.drrobertyoung.com/post/cdc-now-admits-no-gold-standard-for-the-isolation-for-any-virus?postId=60c4dbc74f7fc9002ba2507e>

9. Freedom of Information Responses on CoV - 2 Now Called CoV - 19 -

<https://www.drrobertyoung.com/post/freedom-of-information-responses-on-cov-2>

10. Why Viruses Do Not Exist! -

<https://www.drrobertyoung.com/post/why-viruses-do-not-exist>

**11. Report 255 | Dr. Robert Young: All Disease is Outfection Not Infection--
Vaccine Nano is Bioweapon!** <https://www.bitchute.com/video/rdQhuY455VmK>

**12. Report 255 | Dr. Robert Young: All Disease is Outfection, not Infection | The
Vaccine's Lipid Nanoparticles with Graphene Plus Radiation is the Bioweapon--
No COVID Virus Exists!**

<https://www.brighteon.com/250210af-c8a3-47a1-8922-c960342fe2fb>

**13. Report 255 | Dr. Robert Young: All Disease is Outfection Not Infection--
Vaccine Nano is Bioweapon!**

<https://odysee.com/@RamolaDReports:8/Report-255---Dr.-Robert-Young-Explains-Disease-by-Outfection,-Lipid-Nanoparticles-with-Graphene-the:4>

**14. Forget Everything Else! Look at THE VAER's NUMBERS on Injuries and
Deaths!** <https://www.drrobertyoung.com/post/forget-everything-else-you've-heard-just-look-at-the-numbers>

15. Dr. Robert O. Young ITNJ Testimony



<https://youtu.be/gKjnEz5s37o>

References

- [1] Ou, L., Song, B., Liang, H. et al. Toxicity of graphene-family nanoparticles: a general review of the origins and mechanisms. *Part Fibre Toxicol* 13, 57 (2016). <https://doi.org/10.1186/s12989-016-0168-y>
- [2] Young RO (2016) Pathological Blood Coagulation and the Mycotoxic Oxidative Stress Test (MOST). *Int J Vaccines Vaccin* 2(6): 00048. DOI: [10.15406/ijvv.2016.02.00048](https://doi.org/10.15406/ijvv.2016.02.00048)
- [3] Xu et al, (2019) Identification of graphene oxide and its structural features in solvents by optical microscopy, RSC Adv., 9, 18559-18564
- 1-Extraction RNA Kit <https://www.fishersci.es/shop/products/ambion-purelink-rna-mini-kit7/10307963>
- 2- NanoDrop™ <https://www.thermofisher.com/order/catalog/product/ND-2000#/ND-2000>
- 3- QUBIT2.0: <https://www.thermofisher.com/es/es/home/references/newsletters-andjournals/bioprobe-journal-of-cell-biology-applications/bioprobe-issues-2011/bioprobe-64-april2011/the-qubit-2-0-fluorometer-april-2011.html>
- [4] Kim et al, Seeing graphene-based sheets, Materials Today, Volume 13, Issue 3, 2010, Pages 28- 38,ISSN 1369-7021,[https://doi.org/10.1016/S1369-7021\(10\)70031-6](https://doi.org/10.1016/S1369-7021(10)70031-6)
- [5] Bano, I. et al , 2019. Exploring the fluorescence properties of reduced graphene oxide with tunable device performance,Diamond and Related Materials,Volume 94,59-64,ISSN 0925-9635,<https://doi.org/10.1016/j.diamond.2019.02.021>.
- [6] Biroju, Ravi & Narayanan, Tharangattu & Vineesh, Thazhe Veettil. (2018). New advances in 2D electrochemistry—Catalysis and Sensing. [10.1201/9781315152042-7](https://doi.org/10.1201/9781315152042-7).
- [7] Choucair, M., Thordarson, P. & Stride, J. Gram-scale production of graphene based on solvothermal synthesis and sonication. *Nature Nanotech* 4, 30–33 (2009).
<https://doi.org/10.1038/nnano.2008.365>
- [8] **Atlas of Human Parasitology, 4th Edition, Lawrence Ash and Thomas Orithel, pages 174 to 178**
- [9] Mano, S.S.; Kanehira, K.; Sonezaki, S.; Taniguchi, A. Effect of Polyethylene Glycol Modification of TiO₂ Nanoparticles on Cytotoxicity and Gene Expressions in Human Cell Lines. *Int. J. Mol. Sci.* **2012**, 13, 3703-3717. <https://doi.org/10.3390/ijms13033703>
- [10] Srivastava AK, Dwivedi N, Dhand C, et al. Potential of graphene-based materials to combat COVID-19: properties, perspectives, and prospects. *Mater Today Chem.* 2020;18:100385. doi:[10.1016/j.mtchem.2020.100385](https://doi.org/10.1016/j.mtchem.2020.100385)
- [11] Young, RO, "The Effects of ElectroMagnetic Frequencies (EMF) on the Blood and Biological Terrain." <https://www.drrrobertyoung.com/post/the-effects-electromagnet-frequencies-on-the-blood-and-biological-terrain>
- [16] Gatti AM, Manti A, Valentini L, Montanari S, Gobbi P, et al. (2016) Nano biointeraction of particulate matter in the blood circulation. *Frontiers* 30: 3.
- [13] Nikazar, S., Sivasankarapillai, V.S., Rahdar, A. et al. Revisiting the cytotoxicity of quantum dots: an in-depth overview. *Biophys Rev* 12, 703–718 (2020). <https://doi.org/10.1007/s12551-020-00653-0>

[14] Ritesh Banerjee, Priya Goswami, Manoswini Chakrabarti, Debolina Chakraborty, Amitava Mukherjee, Anita Mukherjee, Cadmium selenide (CdSe) quantum dots cause genotoxicity and oxidative stress in Allium cepa plants, Mutation Research/Genetic Toxicology and Environmental Mutagenesis, Volume 865, 2021, 503338, ISSN 1383-5718,
<https://doi.org/10.1016/j.mrgentox.2021.503338>.

[15] Wanjun Cao, Lin He, Weidong Cao, Xiaobing Huang, Kun Jia, Jingying Dai, Recent progress of graphene oxide as a potential vaccine carrier and adjuvant, Acta Biomaterialia, Volume 112, 2020, Pages 14-28, ISSN 1742-7061, <https://doi.org/10.1016/j.actbio.2020.06.009>.
(<https://www.sciencedirect.com/science/article/pii/S1742706120303305>)

[16] Concise Encyclopedia of Composite Materials, ed. Anthony Kelly, MIT Press, 1989, [ISBN0-262-11145-4](#)

[17] L. Harivardhan Reddy, José L. Arias, Julien Nicolas, and Patrick Couvreur, "Magnetic Nanoparticles: Design and Characterization, Toxicity and Biocompatibility, Pharmaceutical and Biomedical Applications." Chemical Reviews **2012** 112 (11), 5818-5878 DOI: 10.1021/cr300068p

[18] US Dpt of health and human services (1996) Report Update: Vaccine Side Effects, Adverse Reactions, Contraindications, and Precautions. CDC 45(RR-12): 1-35.

[19] Ottaviani G, Lavezzi AM, Matturri L (2006) Sudden infant death syndrome (SIDS) shortly after hexavalent vaccination: pathology in suspected SIDS? Virchows Arch 448(1): 100-104.

[20] Taylor B, Miller E, Farrington CP, Petropoulos MC, Favot-Mayaud I, et al. (1999) Autism and measles, mumps, and rubella vaccine: no epidemiological evidence for a causal association. Lancet 353(9169): 2026-2029.

[21] Demicheli V, Rivetti A, Debalini MG, Di Pietrantonj C (2012) Vaccines for measles, mumps and rubella in children. Cochrane Database Syst Rev 15(2): CD004407. New Quality-Control Investigations on Vaccines: Micro- and Nanocontamination 13/13 Copyright: ©2016 Gatti et al. Citation: Gatti AM, Montanari S (2016) New Quality-Control Investigations on Vaccines: Micro- and Nanocontamination. Int J Vaccines Vaccin 4(1): 00072. DOI: 10.15406/ijvv.2017.04.00072

[22] Carola Bardage, Ingemar Persson, Åke Örtqvist, Ulf Bergman, Jonas F Ludvigsson, et al. (2011) Neurological and autoimmune disorders after vaccination against pandemic influenza A (H1N1) with a monovalent adjuvanted vaccine: population based cohort study in Stockholm, Sweden. BMJ 343: d5956.

[23] Johann Liang R (2012) Updating the Vaccine Injury Table following the 2011 IOM Report on Adverse Effects of vaccines. HRSA, pp. 1-27.

[24] L Tomljenovic, CA Shaw (2011) Aluminum Vaccine Adjuvants: Are they Safe? Current Medicinal Chemistry 18(17): 2630-2637.

[25] Shaw CA, Petrik MS (2009) Aluminum hydroxide injections lead to motor deficits and motor neuron degeneration. J Inorg Biochem 103(11): 1555-1562.

[26] Authier FJ, Sauvat S, Christov C, Chariot P, Raisbeck G, et al. (2006) AlOH3-adjuvanted vaccine-induced macrophagic myofasciitis in rats is influenced by the genetic background. Neuromuscul Disord 16(5): 347-352.

[27] Exley C, Esiri MM (2006) Severe cerebral congophilic angiopathy coincident with increased brain aluminium in a resident of Camelford, Cornwall, UK. J Neurol Neurosurg Psychiatry 77(7): 877- 879.

[28] Wills MR, Savory J (1985) Water content of aluminium, dialysis dementia, and osteomalacia. Environ Health Perspect 63: 141-147.

[29] Brinth L, Pors K, Theibel AC, Mehlsen J (2015) Suspected side effects to the quadrivalent human papilloma vaccine. Danish Medical J 62(4): 1-12.

- [30]** Palmieri B, Poddighe D, Vadalà M, Laurino C, Carnovale C, et al. (2016) Severe somatoform and dysautonomic syndromes after HPV vaccination: case series and review of literature. *Immunol Res.*
- [31]** Visani G, Manti A, Valentini L, Canonico B, Loscocco F, et al. (2016) Environmental nanoparticles are significantly over-expressed in acute myeloid leukemia. *Leuk Res* 50: 50-56.
- [32]** Artoni E, Sighinolfi GL, Gatti AM, Sebastiani M, Colaci M, et al. (2016) Micro and nanoparticles as possible pathogenetic co-factors in mixed cryoglobulinemia. *Occupational Medicine*.
- [33]** T Hansen, L Klimek, F Bittinger, I Hansen, A Gatti, et al. (2008) Mast cell reiches Aluminium granuloma *Pathologe* 29(4): 311-313.
- [34]** Gatti AM, Manti A, Valentini L, Montanari S, Gobbi P, et al. (2016) Nano biointeraction of particulate matter in the blood circulation. *Frontiers* 30: 3.
- [35]** Tenzer S, Docter D, Rosfa S, Włodarski A, Kuharev J, et al. (2011) Nanoparticle size is a critical physicochemical determinant of the human blood plasma corona: a comprehensive quantitative proteomic analysis. *ACS Nano* 5(9): 7155-167.
- [36] Radauer Preiml , Andosch A, Hawranek T, Luetz-Meindl U, Wiederstein M, et al. (2015) Nanoparticle-allergen interactions mediate human allergic responses: protein corona characterization and cellular responses. *Fibre toxicology* 13: 3.
- [37]** Cedervall T, Lynch I, Lindman S, Berggård T, Thulin E, et al. (2016) Understanding the nanoparticle-protein corona using methods to quantify exchange rates and affinities of proteins for nanoparticles. *PNAS* 104 (7): 2050-2055.
- [38]** Lynch I, Cedervall T, Lundqvist M, Cabaleiro-Lago C, Linse S, et al. (2007) The nanoparticle-protein complex as a biological entity; a complex fluids and surface science challenge for the 21st century. *Advances in Colloid and Interface Science* 134-135: 167-174.
- [39]** Gatti AM, Quaglino D, Sighinolfi GL (2009) A Morphological Approach to Monitor the Nanoparticle-Cell Interaction. *International Journal of Imaging and Robotics* 2: 2-21.
- [40]** Urban RM, Jacobs JJ, Gilbert JL, Galante JO (1994) Migration of corrosion products from modular hip prostheses. Particle microanalysis and histopathological findings. *The Journal of Bone and Joint Surgery* 76(9): 1345-1359.
- [41]** Kirkpatrick CJ, Barth S, Gerdes T, Krump-Konvalinkova V, Peters (K 2002) Pathomechanisms of impaired wound healing by metallic corrosion products. *Mund Kiefer Gesichtschir* 6(3): 183-190.
- [42]** Lee SH, Brennan FR, Jacobs JJ, Urban RM, Ragasa DR, et al. (1997) Human monocyte/macrophage response to cobalt-chromium corrosion products and titanium particles in patients with total joint replacements. *J Orthop Res* 15(1): 40-49.
- [43]** Shaw CA, Seneff S, Kette SD, Tomljenovic L, Oller Jr JW, et al. (2014) Aluminum-Induced Entropy in Biological Systems: Implications for Neurological Disease. *Journal of Toxicology* 2014: 491316.

- [44]** Shaw CA, Kette SD, Davidson RM, Seneff S (2013) Aluminum™s Role in CNS-immune System Interactions leading to Neurological Disorders. Immunome Research 9: 069.
- [45]** Seneff S, Swanson N, Chen Li (2015) Aluminum and Glyphosate Can Synergistically Induce Pineal Gland Pathology: Connection to Gut Dysbiosis and Neurological Disease. Agricultural Sciences 6(1): 42- 70.
- [46]** Pegaz B, Debefve E, Ballini JP, Konan-Kouakou YN, van den Bergh HJ (2006) Effect of nanoparticle size on the extravasations and the photothrombic activity of meso(p-tetracarboxyphenyl)porphyrin. J Photochem Photobiol B 85(3): 216-222.
- [47]** Brinth LS, Pors K, Hoppe AG, Badreldin I, Mehlsen J (2015) Is Chronic Fatigue Syndrome/Myalgic Encephalomyelitis a Relevant Diagnosis in Patients with Suspected Side Effects to Human Papilloma Virus Vaccine? International Journal of Vaccines and Vaccination 1(1):1-5.
- [48]** Moos WH, Faller DV, Harpp DN, Kanara I, Pernokas J, et al. (2016) Microbiota and Neurological Disorders: A Gut Feeling. Biores Open Access 5(1): 137-145.
- [49]** Sekirov I, Russell SL, Caetano L, Antunes M, Brett (2010) Gut Microbiota in Health and Disease. Physiological Rev 90(3): 859-904.
- [50]** Umbrello G, Esposito S (2016) Microbiota and neurologic diseases: potential effects of probiotics. J Transl Med 14(1): 298.
- [51]** Kinoshita T, Abe RT, Hineno A, Tsunekawa K, Nakane S, et al. (2014) Peripheral sympathetic nerve dysfunction in adolescent Japanese girls following immunization with the human papillomavirus vaccine. Intern Med 53(19): 2185-2200.
- [52]** Young, RO, "Forget Everything Else! Look at THE VAER's NUMBERS on Injuries and Deaths!" <https://www.drrobertyoung.com/post/forget-everything-else-you-ve-heard-just-look-at-the-numbers5>

<https://www.drrobertyoung.com/post/transmission-electron-microscopy-reveals-graphene-oxide-in-cov-19-vaccines>

źródło informacji to ten link.